



دانشگاه صنعتی شریف  
دانشکده‌ی مهندسی هوافضا

پروژه کارشناسی ارشد  
مهندسی فضا

عنوان:

# هدایت یادگیری تقویتی مقاوم مبتنی بر بازی دیفرانسیلی در محیط‌های پویای چندجسمی با پیشران کم

نگارش:

علی بنی اسد

استاد راهنما:

دکتر هادی نوبهاری

دی ۱۴۰۳



به نام خدا

دانشگاه صنعتی شریف

دانشکده‌ی مهندسی هوافضا

پروژه کارشناسی ارشد

عنوان: هدایت یادگیری تقویتی مقاوم مبتنی بر بازی دیفرانسیلی در محیط‌های پویای چندجسمی  
با پیشران کم

نگارش: علی بنی اسد

کمیته‌ی ممتحنین

استاد راهنما: دکتر هادی نوبهاری  
امضاء:

استاد مشاور: استاد مشاور  
امضاء:

استاد مدعو: استاد ممتحن  
امضاء:

تاریخ:

## سپاس

از استاد بزرگوارم جناب آقای دکتر نوبهاری که با کمک‌ها و راهنمایی‌های بی‌دریغشان، بنده را در انجام این پروژه یاری داده‌اند، تشکر و قدردانی می‌کنم. از پدر دلسوزم ممنونم که در انجام این پروژه مرا یاری نمود. در نهایت در کمال تواضع، با تمام وجود بر دستان مادرم بوسه می‌زنم که اگر حمایت بی‌دریغش، نگاه مهربانش و دستان گرمش نبود برگ برگ این دست نوشته و پروژه وجود نداشت.

## چکیده

در این پژوهش، از یک روش مبتنی بر نظریه بازی<sup>۱</sup> به منظور کنترل وضعیت استند سه درجه آزادی چهارپره استفاده شده است. در این روش بازیکن اول سعی در ردگیری ورودی مطلوب می‌کند و بازیکن دوم با ایجاد اغتشاش سعی در ایجاد خطا در ردگیری بازیکن اول می‌کند. در این روش انتخاب حرکت با استفاده از تعادل نش<sup>۲</sup> که با فرض بدترین حرکت دیگر بازیکن است، انجام می‌شود. این روش نسبت به اغتشاش ورودی و همچنین نسبت به عدم قطعیت مدل‌سازی می‌تواند مقاوم باشد. برای ارزیابی عملکرد این روش ابتدا شبیه‌سازی‌هایی در محیط سیمولینک انجام شده است و سپس، با پیاده‌سازی روی استند سه درجه آزادی صحت عملکرد کنترل‌کننده تایید شده است.

**کلیدواژه‌ها:** چهارپره، بازی دیفرانسیلی، نظریه بازی، تعادل نش، استند سه درجه آزادی، مدل‌مبنا، تنظیم‌کننده مربعی خطی

---

<sup>1</sup>Game Theory

<sup>2</sup>Nash Equilibrium

# فهرست مطالب

۱	مقدمه	۱
۱	۱-۱ انگیزه پژوهش	۱
۱	۲-۱ تعریف مسئله	۱
۲	۳-۱ اهداف و نوآوری	۲
۲	۴-۱ یادگیری تقویتی	۲
۲	۵-۱ یادگیری تقویتی چند عاملی	۲
۲	۶-۱ محتوای گزارش	۲
۳	۲ پیشینه پژوهش	۳
۳	۱-۲ ماموریت‌های بین مداری	۳
۵	۲-۲ یادگیری تقویتی	۵
۵	۳-۲ یادگیری تقویتی چندعاملی	۵
۶	۳ یادگیری تقویتی	۶
۶	۱-۳ مفاهیم اولیه	۶
۷	۳-۱-۱ حالت و مشاهدات	۷
۷	۳-۱-۲ فضای عمل	۷
۷	۳-۱-۳ سیاست	۷
۸	۳-۱-۴ مسیر	۸

۸	۵-۱-۳ تابع پاداش و بازگشت
۹	۶-۱-۳ ارزش در یادگیری تقویتی
۱۰	۷-۱-۳ معادلات بلمن
۱۱	۸-۱-۳ تابع مزیت
۱۲	۲-۳ عامل گرادیان سیاست عمیق قطعی
۱۲	۱-۲-۳ یادگیری Q در DDPG
۱۴	۲-۲-۳ سیاست در DDPG
۱۴	۳-۲-۳ اکتشاف و بهره‌برداری در DDPG
۱۴	۴-۲-۳ شبکه‌د DDPG
۱۶	۳-۳ عامل گرادیان سیاست عمیق قطعی تاخیری دوگانه
۱۷	۱-۳-۳ اکتشاف و بهره‌برداری در TD3
۱۷	۲-۳-۳ شبکه‌د TD3
۱۹	۴-۳ عامل عملگر نقاد نرم
۱۹	۱-۴-۳ یادگیری تقویتی تنظیم‌شده با آنتروپی
۱۹	۲-۴-۳ سیاست در SAC
۲۰	۳-۴-۳ تابع ارزش در SAC
۲۰	۴-۴-۳ تابع Q در SAC
۲۰	۵-۴-۳ معادله بلمن در SAC
۲۱	۶-۴-۳ یادگیری Q
۲۱	۷-۴-۳ سیاست در SAC
۲۲	۸-۴-۳ اکتشاف و بهره‌برداری در SAC
۲۳	۹-۴-۳ شبکه‌د SAC
۲۴	۵-۳ عامل بهینه‌سازی سیاست مجاور
۲۵	۱-۵-۳ سیاست در الگوریتم PPO

۲۶	۲-۵-۳	اکتشاف و بهره‌برداری در PPO
۲۶	۳-۵-۳	شبکه‌کد PPO
۲۸	۴	یادگیری تقویتی چند عاملی
۲۸	۱-۴	تعاریف و مفاهیم اساسی
۲۹	۲-۴	نظریه بازی‌ها
۲۹	۱-۲-۴	تعادل نش
۳۰	۲-۲-۴	بازی مجموع صفر
۳۲	۵	مدل‌سازی محیط یادگیری سه جسمی
۳۳	۱-۵	مسئله سه جسمی محدود دایره‌ای
۳۴	۲-۵	معادلات حرکت در مسئله سه جسمی محدود دایره‌ای
۳۵	۳-۵	معادلات حرکت در مسئله سه جسمی محدود دایره‌ای
۳۷	۴-۵	استخراج گام‌به‌گام معادلات حرکت در مسئله سه جسمی محدود دایره‌ای (CRTBP)
۳۷	۱-۴-۵	معادلات حرکت در دستگاه لخت برای جرم سوم
۳۸	۲-۴-۵	انتقال به چارچوب چرخان (هم‌گردان با دو جرم اصلی)
۳۹	۳-۴-۵	نوشتن معادلات حرکت در مؤلفه‌های $x, y, z$ (چارچوب چرخان)
۴۰	۴-۴-۵	پتانسیل مؤثر و مشتقات آن
۴۲	۵-۴-۵	معادلات نهایی حرکت در مختصات $x, y, z$
۴۳	۵-۵	
۴۵	۶-۵	
۴۶	۷-۵	
۴۸	۸-۵	
۴۹	۹-۵	
۵۱	۶	شبیه‌سازی عامل در محیط سه جسمی



۵۱	۱-۶ طراحی عامل
۵۱	۱-۱-۶ فضای حالت
۵۲	۲-۱-۶ فضای عمل
۵۳	۳-۱-۶ تابع پاداش
۵۴	۲-۶ شبیه‌سازی عامل
۵۴	۱-۲-۶ الگوریتم‌های مورد استفاده
۵۵	۲-۲-۶ فرآیند آموزش
۵۷	۷ سخت افزار در حلقه عملکرد عامل در محیط
۵۸	۸ ارزیابی و نتایج یادگیری
۵۸	۱-۸ تنظیمات آزمایشی
۵۸	۲-۸ نتایج عملکرد الگوریتم‌ها
۵۸	۳-۸ تحلیل پایداری و همگرایی
۵۹	۴-۸ مقایسه با معیارهای مرجع

## فهرست جداول

- ۱-۵    مقادیر عددی برای مسئله سه جسمی محدود (سیستم زمین-ماه)    ۳۵
- ۲-۵    مقادیر عددی برای مسئله سه جسمی محدود (سیستم زمین-ماه)    ۳۶
- ۱-۶    ویژگی‌های الگوریتم‌های مورد استفاده در شبیه‌سازی    ۵۴

## فهرست تصاویر

۷	.....	۱-۳ حلقه تعامل عامل و محیط
۳۳	.....	۱-۵ هندسه مسئله سه بدنه محدود
۵۵	.....	۱-۶ ساختار شبکه عصبی عامل

# فهرست الگوریتم‌ها

۱	گرایان سیاست عمیق قطعی	۱۵
۲	عامل گرایان سیاست عمیق قطعی تاخیری دوگانه	۱۸
۳	عامل عملگرد نقاد نرم	۲۳
۴	بهینه‌سازی سیاست مجاور (PPO-Clip)	۲۷

# فصل ۱

## مقدمه

### ۱-۱ انگیزه پژوهش

### ۲-۱ تعریف مسئله

در سال‌های اخیر، پیشرفت‌های فناوری در زمینه‌های مختلف، از جمله کنترل پرواز، پردازش سیگنال و هوش مصنوعی، به افزایش کاربردهای ماهواره با پیشران کم در منظومه زمین-ماه کمک کرده است. ماهواره با پیشران کم می‌تواند برای تعقیب ماهواره‌ها، انتقال مداری و استقرار ماهواره‌ها استفاده شود. روش‌های هدایت بهینه قدیمی جهت کنترل ماهواره‌ها اغلب نیازمند فرضیات ساده‌کننده، منابع محاسباتی فراوان و شرایط اولیه مناسب هستند. الگوریتم‌های مبتنی بر یادگیری تقویتی این توانایی را دارند که بدون مشکلات اشاره‌شده هدایت ماهواره را انجام دهند. به همین دلیل، این الگوریتم‌ها می‌توانند امکان محاسبات درونی (On-board Computing) را فراهم می‌کنند.

۳-۱ اهداف و نوآوری

۴-۱ یادگیری تقویتی

۵-۱ یادگیری تقویتی چند عاملی

۶-۱ محتوای گزارش

## فصل ۲

### پیشینه پژوهش

#### ۱-۲ مأموریت‌های بین مداری

هدایت فضاپیماها معمولاً با استفاده از ایستگاه‌های زمینی انجام می‌شود. با این حال، این تکنیک‌ها دارای محدودیت‌هایی از جمله حساسیت به قطع ارتباطات، تاخیرهای زمانی، و محدودیت‌های منابع محاسباتی هستند. الگوریتم‌های یادگیری تقویتی و بازی‌های دیفرانسیلی می‌توانند برای بهبود قابلیت‌های هدایت فضاپیماها، از جمله مقاومت در برابر تغییرات محیطی، کاهش تاخیرهای ناشی از ارتباطات زمینی، و افزایش کارایی محاسباتی، مورد استفاده قرار گیرند.

هدایت فضاپیماها معمولاً پیش از پرواز انجام می‌شود. این روش‌ها می‌توانند از تکنیک‌های بهینه‌سازی فراگیر [۱] یا برنامه‌نویسی غیرخطی برای تولید مسیرها و فرمان‌های کنترلی بهینه استفاده کنند. با این حال، این روش‌ها معمولاً حجم محاسباتی زیادی دارند و برای استفاده درون‌سفینه نامناسب هستند [۲]. یادگیری ماشین می‌تواند برای بهبود قابلیت‌های هدایت فضاپیماها استفاده شود. کنترل‌کننده شبکه عصبی حلقه‌بسته می‌تواند برای محاسبه سریع و خودکار تاریخچه کنترل استفاده شود. یادگیری تقویتی نیز می‌تواند برای یادگیری رفتارهای هدایت بهینه استفاده شود.

روش‌های هدایت و بهینه‌سازی مسیر فضاپیماها به‌طور کلی به راه‌حل‌های اولیه مناسب نیاز دارند. در مسائل چند جسمی، طراحان مسیر اغلب حدس‌های اولیه کم‌هزینه‌ای برای انتقال‌ها با استفاده از نظریه سیستم‌های دینامیکی و منی‌فولدهای ثابت [۳، ۴] ایجاد می‌کنند.

شبکه‌های عصبی ویژگی‌های جذابی برای فعال‌سازی هدایت در فضاپیما دارند. به‌عنوان مثال، شبکه‌های عصبی می‌توانند به‌طور مستقیم از تخمین‌های وضعیت به دستورهای پیش‌ران کنترلی که با محدودیت‌های مأموریت

سازگار است، برسند. عملکرد هدایت شبکه‌های عصبی در مطالعاتی مانند فرود بر سیارات [۵]، عملیات نزدیکی به سیارات [۶] و کنترل فضاپیما با پیشران ازدست‌رفته [۷] نشان داده شده است. تازه‌ترین پیشرفت‌های تکنیک‌های یادگیری ماشین در مسائل خودکارسازی درونی به‌طور گسترده‌ای مورد مطالعه قرار گرفته‌اند؛ از پژوهش‌های اولیه تا توانایی‌های پیاده‌سازی. به‌عنوان مثال، الگوریتم‌های یادگیری ماشین ابتدایی در فضاپیماهای مریخی نبرد برای کمک به شناسایی ویژگی‌های زمین‌شناسی تعبیه شده‌اند. الگوریتم AEGIS توانایی انتخاب خودکار هدف توسط یک دوربین در داخل فضاپیماهای Spirit، Opportunity و Curiosity را فعال دارد [۸]. در کامپیوتر پرواز اصلی، فرآیند دقت‌افزایی (Refinement Process) نیاز به ۹۴ تا ۹۶ ثانیه دارد [۹]، که به‌طور قابل توجهی کمتر از زمان مورد نیاز برای ارسال تصاویر به زمین و انتظار برای انتخاب دستی توسط دانشمندان است. برنامه‌های آینده برای کاربردهای یادگیری ماشین درون‌سفینه شامل توانایی‌های رباتیکی درون‌سفینه برای فضاپیمای Perseverance [۱۰، ۱۱] و شناسایی عیب برای Europa Clipper [۱۲] می‌شود. الگوریتم‌های یادگیری ماشین پتانسیلی برای سهم مهمی در مأموریت‌های اتوماسیون آینده دارند.

علاوه بر رباتیک سیاره‌ای، پژوهش‌های مختلفی به استفاده از تکنیک‌های مختلف یادگیری ماشین در مسائل نجومی پرداخته‌اند. در طراحی مسیر عملکرد رگرسیون معمولاً مؤثرتر هست. به‌عنوان مثال، از یک شبکه عصبی (NN) در بهینه‌سازی مسیرهای رانشگر کم‌پیشران استفاده شده است [۱۳]. پژوهش‌های جدید شامل شناسایی انتقال‌های هتروکلینیک [۱۴]، اصلاح مسیر رانشگر کم‌پیشران [۱۵] و تجزیه و تحلیل مشکلات ازدست‌رفتن رانشگر [۷] می‌شود.

تکنیک‌های یادگیری نظارتی می‌توانند نتایج مطلوبی تولید کنند؛ اما، دارای محدودیت‌های قابل توجهی هستند. یکی از این محدودیت‌ها این است که این رویکردها بر وجود دانش پیش از فرآیند تصمیم‌گیری متکی هستند. این امر مستلزم دقیق‌بودن داده‌های تولیدشده توسط کاربر برای نتایج مطلوب و همچنین وجود تکنیک‌های موجود برای حل مشکل کنونی و تولید داده است.

در سال‌های اخیر، قابلیت یادگیری تقویتی (RL) در دستیابی به عملکرد بهینه در دامنه‌هایی با ابهام محیطی قابل توجه، به اثبات رسیده است [۱۶، ۱۷]. هدایت انجام‌شده توسط RL را می‌توان به‌صورت گسترده بر اساس فاز پرواز دسته‌بندی کرد. مسائل فرود [۱۸، ۱۹] و عملیات در نزدیکی اجسام کوچک [۵، ۶]، از حوزه‌های پژوهشی هستند که از RL استفاده می‌کنند. تحقیقات دیگر شامل مواجهه تداخل خارجی جوی [۲۰]، نگهداری ایستگاهی [۲۱] و هدایت به‌صورت جلوگیری از شناسایی [۲۲] است. مطالعاتی که فضاپیماهای رانشگر کم‌پیشران را در یک چارچوب دینامیکی چند بدنی با استفاده از RL انجام‌شده‌است، شامل طراحی انتقال با استفاده از Q-learning [۲۳]، Proximal Policy Optimization [۲۴] و هدایت نزدیکی مدار [۲۵] است.



۲-۲ یادگیری تقویتی

۳-۲ یادگیری تقویتی چندعاملی

## فصل ۳

# یادگیری تقویتی

### ۱-۳ مفاهیم اولیه

دو بخش اصلی یادگیری تقویتی<sup>۱</sup> شامل عامل<sup>۲</sup> و محیط<sup>۳</sup> است. عامل در محیط قرار دارد و با آن تعامل دارد. در هر مرحله از تعامل بین عامل و محیط، عامل یک مشاهده جزئی از وضعیت محیط انجام می‌دهد و سپس در مورد اقدامی که باید انجام دهد تصمیم می‌گیرد. وقتی عامل بر روی محیط عمل می‌کند، محیط تغییر می‌کند، اما ممکن است محیط به تنهایی نیز تغییر کند. عامل همچنین یک سیگنال پاداش<sup>۴</sup> از محیط دریافت می‌کند، سیگنالی که به آن می‌گویند وضعیت تعامل فعلی عامل در محیط چقدر خوب یا بد است. هدف عامل به حداکثر رساندن پاداش انباشته خود است که بازگشت<sup>۵</sup> نام دارد. یادگیری تقویتی به روش‌هایی گفته می‌شود که در آن‌ها عامل رفتارهای مناسب برای رسیدن به هدف خود را می‌آموزد. در شکل ۱-۳ تعامل بین محیط و عامل نشان داده شده‌است.

---

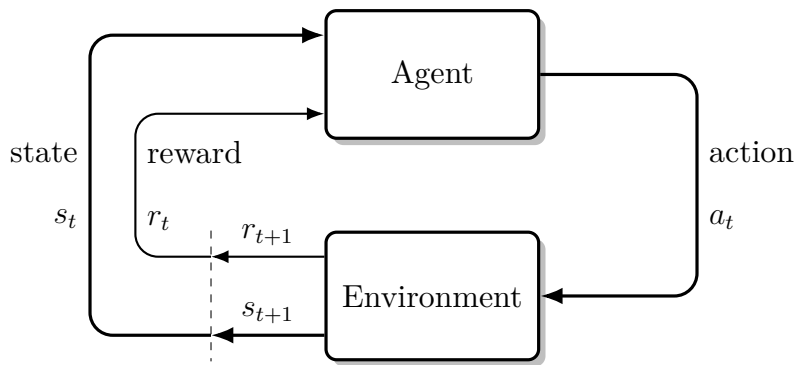
<sup>۱</sup>Reinforcement Learning (RL)

<sup>۲</sup>Agent

<sup>۳</sup>Environment

<sup>۴</sup>Reward

<sup>۵</sup>Return



شکل ۱-۳: حلقه تعامل عامل و محیط

### ۱-۱-۳ حالت و مشاهدات

حالت<sup>۶</sup> ( $s$ ) توصیف کاملی از وضعیت محیط است. همهی اطلاعات محیط در حالت وجود دارد. مشاهده<sup>۷</sup> ( $o$ ) یک توصیف جزئی از حالت است که ممکن است تمامی اطلاعات نباشد. در این پژوهش مشاهده توصیف کاملی از محیط هست در نتیجه حالت و مشاهده برابر هستند.

### ۲-۱-۳ فضای عمل

فضای عمل ( $a$ ) در یادگیری تقویتی، مجموعه‌ای از تمام اقداماتی است که یک عامل می‌تواند در محیط انجام دهد. این فضا می‌تواند گسسته<sup>۸</sup> یا پیوسته<sup>۹</sup> باشد. در این پژوهش فضای عمل پیوسته و محدود به یک بازه مشخص است.

### ۳-۱-۳ سیاست

یک سیاست<sup>۱۰</sup> قاعده‌ای است که یک عامل برای تصمیم‌گیری در مورد اقدامات خود استفاده می‌کند. در این پژوهش به تناسب الگوریتم پیاده‌سازی شده از سیاست قطعی<sup>۱۱</sup> یا تصادفی<sup>۱۲</sup> استفاده شده‌است، که به دو صورت

<sup>۶</sup>State

<sup>۷</sup>Observation

<sup>۸</sup>Discrete

<sup>۹</sup>Continuous

<sup>۱۰</sup>Policy

<sup>۱۱</sup>Deterministic

<sup>۱۲</sup>Stochastic

زیر نشان داده می‌شود:

$$a_t = \mu(s_t) \quad (۱-۳)$$

$$a_t \sim \pi(\cdot | s_t) \quad (۲-۳)$$

که زیروند  $t$  بیانگر زمان است. در یادگیری تقویتی عمیق از سیاست‌های پارامتری شده استفاده می‌شود. خروجی این سیاست‌ها تابعی از مجموعه‌ای از پارامترها (برای مثال وزن‌ها و بایاس‌های یک شبکه عصبی) هستند که می‌توان از الگوریتم‌های بهینه‌سازی جهت تعیین پارامترها استفاده کرد. در این پژوهش پارامترهای سیاست با  $\theta$  نشان داده شده‌است و سپس نماد آن به عنوان زیروند سیاست مانند معادله (۳-۳) نشان داده شده‌است.

$$a_t = \mu_\theta(s_t) \quad (۳-۳)$$

$$a_t \sim \pi_\theta(\cdot | s_t)$$

### ۴-۱-۳ مسیر

یک مسیر<sup>۱۳</sup> توالی‌ای از حالت‌ها و عمل‌ها در محیط است.

$$\tau = (s_0, a_0, s_1, a_1, \dots) \quad (۴-۳)$$

گذار حالت<sup>۱۴</sup> به اتفاقاتی که در محیط بین زمان  $t$  در حالت  $s_t$  و زمان  $t + 1$  در حالت  $s_{t+1}$  رخ می‌دهد، گفته می‌شود. این گذارها توسط قوانین طبیعی محیط انجام می‌شوند و تنها به آخرین اقدام انجام شده توسط عامل ( $a_t$ ) بستگی دارند. گذار حالت را می‌توان به صورت زیر تعریف کرد.

$$s_{t+1} = f(s_t, a_t) \quad (۵-۳)$$

### ۵-۱-۳ تابع پاداش و بازگشت

تابع پاداش<sup>۱۵</sup> به حالت فعلی محیط، آخرین عمل انجام شده و حالت بعدی محیط بستگی دارد. تابع پاداش را می‌توان به صورت زیر تعریف کرد.

$$r_t = R(s_t, a_t, s_{t+1}) \quad (۶-۳)$$

<sup>13</sup>Trajectory

<sup>14</sup>State Transition

<sup>15</sup>Reward Function

در این پژوهش پاداش تنها تابعی از جفت حالت-عمل ( $r_t = R(s_t, a_t)$ ) است. هدف عامل این است که مجموع پاداش‌های به‌دست‌آمده در طول یک مسیر را به حداکثر برساند. در این پژوهش مجموع پاداش‌ها در طول یک مسیر را با نماد  $R(\tau)$  نشان داده شده‌است و به آن تابع بازگشت<sup>۱۶</sup> گفته می‌شود. یکی از انواع بازگشت، بازگشت بدون تنزیل<sup>۱۷</sup> با افق محدود<sup>۱۸</sup> است که مجموع پاداش‌های به‌دست‌آمده در یک بازه زمانی ثابت و از مسیر  $\tau$  است که در معادله (۷-۳) نشان داده شده‌است.

$$R(\tau) = \sum_{t=0}^T r_t \quad (۷-۳)$$

نوع دیگری از بازگشت، بازگشت تنزیل‌شده با افق نامحدود<sup>۱۹</sup> است که مجموع همه پاداش‌هایی است که تا به حال توسط عامل به‌دست آمده‌است. اما، فاصله زمانی تا دریافت پاداش باعث تنزیل ارزش آن می‌شود. این معادله بازگشت (۸-۳) شامل یک فاکتور تنزیل<sup>۲۰</sup> با نماد  $\gamma$  است که عددی بین صفر و یک است.

$$R(\tau) = \sum_{t=0}^{\infty} \gamma^t r_t \quad (۸-۳)$$

### ۳-۱-۶ ارزش در یادگیری تقویتی

در یادگیری تقویتی، دانستن ارزش<sup>۲۱</sup> یک حالت یا جفت حالت-عمل ضروری است. منظور از ارزش، بازگشت مورد انتظار<sup>۲۲</sup> است. یعنی اگر از آن حالت یا جفت حالت-عمل شروع شود و سپس برای همیشه طبق یک سیاست خاص عمل شود، به طور میانگین چه مقدار پاداش دریافت خواهد کرد. توابع ارزش تقریباً در تمام الگوریتم‌های یادگیری تقویتی به کار می‌روند. در اینجا به چهار تابع مهم اشاره شده‌است.

۱. تابع ارزش تحت سیاست<sup>۲۳</sup> ( $V^\pi(s)$ ): خروجی این تابع بازگشت مورد انتظار است در صورتی که از حالت  $s$  شروع شود و همیشه طبق سیاست  $\pi$  عمل شود و به‌صورت زیر بیان می‌شود:

$$V^\pi(s) = \mathbb{E}_{\tau \sim \pi} [R(\tau) | s_0 = s] \quad (۹-۳)$$

۲. تابع ارزش-عمل تحت سیاست<sup>۲۴</sup> ( $Q^\pi(s, a)$ ): خروجی این تابع بازگشت مورد انتظار است در صورتی که از حالت  $s$  شروع شود، یک اقدام دلخواه  $a$  (که ممکن است از سیاست  $\pi$  نباشد) انجام شود و سپس

<sup>16</sup>Return

<sup>17</sup>Discount

<sup>18</sup>Finite-Horizon Undiscounted Return

<sup>19</sup>Infinite-Horizon Discounted Return

<sup>20</sup>Discount Factor

<sup>21</sup>Value

<sup>22</sup>Expected Return

<sup>23</sup>On-Policy Value Function

<sup>24</sup>On-Policy Action-Value Function

برای همیشه طبق سیاست  $\pi$  عمل شود و به صورت زیر بیان می شود:

$$Q^\pi(s, a) = \mathbb{E}_{\tau \sim \pi} [R(\tau) | s_0 = s, a_0 = a] \quad (۱۰-۳)$$

۳. تابع ارزش بهینه<sup>۲۵</sup> ( $V^*(s)$ ): خروجی این تابع بازگشت مورد انتظار است در صورتی که از حالت  $s$  شروع شود و همیشه طبق سیاست بهینه در محیط عمل شود و به صورت زیر بیان می شود:

$$V^*(s) = \max_{\pi} (V^\pi(s)) \quad (۱۱-۳)$$

۴. تابع ارزش-عمل بهینه<sup>۲۶</sup> ( $Q^*(s, a)$ ): خروجی این تابع بازگشت مورد انتظار است در صورتی که از حالت  $s$  شروع شود، یک اقدام دلخواه  $a$  انجام شود و سپس برای همیشه طبق سیاست بهینه در محیط عمل شود و به صورت زیر بیان می شود:

$$Q^*(s, a) = \max_{\pi} (Q^\pi(s, a)) \quad (۱۲-۳)$$

### ۷-۱-۳ معادلات بلمن

توابع ارزش اشاره شده از معادلات خاصی که به آن ها معادلات بلمن گفته می شود، پیروی می کنند. ایده اصلی پشت معادلات بلمن است که ارزش نقطه شروع برابر است با پاداشی است که انتظار دارید از آنجا دریافت کنید، به علاوه ارزش مکانی که بعداً به آنجا می رسید. معادلات بلمن برای توابع ارزش سیاست محور به شرح زیر هستند:

$$V^\pi(s) = \mathbb{E}_{\substack{a \sim \pi \\ s' \sim P}} [r(s, a) + \gamma V^\pi(s')] \quad (۱۳-۳)$$

$$Q^\pi(s, a) = \mathbb{E}_{s' \sim P} \left[ r(s, a) + \gamma \mathbb{E}_{a' \sim \pi} [Q^\pi(s', a')] \right] \quad (۱۴-۳)$$

که در آن  $V^\pi(s)$  تابع ارزش حالت  $s$  تحت سیاست  $\pi$  است؛  $Q^\pi(s, a)$  تابع ارزش عمل  $a$  در حالت  $s$  تحت سیاست  $\pi$  است؛  $R(s, a)$  پاداش دریافتی پس از انجام عمل  $a$  در حالت  $s$  است؛  $\gamma$  ضریب تخفیف است که ارزش پاداش های آینده را کاهش می دهد؛  $s' \sim P(\cdot | s, a)$  نشان می دهد که حالت بعدی  $s'$  از توزیع انتقال محیط  $P$  با شرط های  $s$  و  $a$  نمونه برداری می شود؛ و  $a' \sim \pi(\cdot | s')$  نشان می دهد که عمل بعدی  $a'$  از سیاست

<sup>25</sup>Optimal Value Function

<sup>26</sup>Optimal Action-Value Function

$\pi$  با شرط حالت جدید  $s'$  نمونه‌برداری می‌شود. این معادلات بیانگر این هستند که ارزش یک حالت یا عمل، مجموع پاداش مورد انتظار آن و ارزش حالت بعدی است که بر اساس سیاست فعلی تعیین می‌شود. معادلات بلمن برای توابع ارزش بهینه به شرح زیر هستند:

$$V^*(s) = \max_a \mathbb{E}_{s' \sim P} [r(s, a) + \gamma V^*(s')] \quad (۱۵-۳)$$

$$Q^*(s, a) = \mathbb{E}_{s' \sim P} \left[ r(s, a) + \gamma \max_{a'} Q^*(s', a') \right] \quad (۱۶-۳)$$

تفاوت حیاتی بین معادلات بلمن برای توابع ارزش سیاست محور و توابع ارزش بهینه، عدم حضور یا حضور عملگر max بر روی اعمال است. حضور آن منعکس‌کننده این است که هرگاه عامل بتواند عمل خود را انتخاب کند، برای عمل بهینه، باید هر عملی را که منجر به بالاترین ارزش می‌شود انتخاب کند.

### ۳-۱-۸ تابع مزیت

گاهی در یادگیری تقویتی، نیازی به توصیف میزان خوبی یک عمل به صورت مطلق نیست، بلکه تنها می‌خواهیم بدانیم که چه مقدار بهتر از سایر اعمال به طور متوسط است. به عبارت دیگر، مزیت نسبی آن عمل مورد بررسی قرار می‌گیرد. این مفهوم با تابع مزیت<sup>۲۷</sup> توضیح داده می‌شود.

تابع مزیت  $A^\pi(s, a)$  که مربوط به سیاست  $\pi$  است، توصیف می‌کند که انجام یک عمل خاص  $a$  در حالت  $s$  چقدر بهتر از انتخاب تصادفی یک عمل بر اساس  $\pi(\cdot|s)$  است، با فرض اینکه شما برای همیشه پس از آن مطابق با  $\pi$  عمل می‌کنید. به صورت ریاضی، تابع مزیت به صورت زیر تعریف می‌شود:

$$A^\pi(s, a) = Q^\pi(s, a) - V^\pi(s)$$

که در آن  $A^\pi(s, a)$  تابع مزیت برای عمل  $a$  در حالت  $s$  است.  $Q^\pi(s, a)$  تابع ارزش عمل  $a$  در حالت  $s$  تحت سیاست  $\pi$  است و  $V^\pi(s)$  تابع ارزش حالت  $s$  تحت سیاست  $\pi$  است. این تابع مزیت نشان می‌دهد که انجام عمل  $a$  در حالت  $s$  نسبت به میانگین اعمال تحت سیاست  $\pi$  چقدر مزیت دارد. اگر  $A^\pi(s, a)$  مثبت باشد، نشان‌دهنده این است که عمل  $a$  بهتر از میانگین اعمال است و اگر منفی باشد، نشان‌دهنده کمتر بودن عملکرد آن نسبت به میانگین است.

<sup>27</sup> Advantage Function

## ۲-۳ عامل گرادیان سیاست عمیق قطعی

گرادیان سیاست عمیق قطعی<sup>۲۸</sup> الگوریتمی است که همزمان یک تابع  $Q$  و یک سیاست را یاد می‌گیرد. این الگوریتم برای یادگیری تابع  $Q$  از داده‌های غیرسیاست محور<sup>۲۹</sup> و معادله بلمن استفاده می‌کند. این الگوریتم برای یادگیری سیاست نیز از تابع  $Q$  استفاده می‌کند.

این رویکرد وابستگی نزدیکی به یادگیری  $Q$  دارد. اگر تابع ارزش-عمل بهینه مشخص باشد، در هر حالت داده‌شده عمل بهینه را می‌توان با حل معادله (۱۷-۳) به دست آورد.

$$a^*(s) = \arg \max_a Q^*(s, a) \quad (۱۷-۳)$$

الگوریتم DDPG ترکیبی از یادگیری تقریبی برای  $Q^*(s, a)$  و یادگیری تقریبی برای  $a^*(s)$  است و به صورتی طراحی شده است که برای محیط‌هایی با فضاها عمل پیوسته مناسب باشد. آنچه این الگوریتم را برای فضای عمل پیوسته مناسب می‌کند، روش محاسبه  $a^*(s)$  است. فرض می‌شود که تابع  $Q^*(s, a)$  نسبت به آرگومان عمل مشتق‌پذیر است. مشتق‌پذیری این امکان را می‌دهد که یک روش یادگیری مبتنی بر گرادیان برای سیاست  $\mu(s)$  استفاده شود. سپس، به جای اجرای یک بهینه‌سازی زمان‌بر در هر بار محاسبه  $\max_a Q(s, a)$ ، می‌توان آن را با رابطه  $\max_a Q(s, a) \approx Q(s, \mu(s))$  تقریب زد.

## ۱-۲-۳ یادگیری $Q$ در DDPG

معادله بلمن که تابع ارزش عمل بهینه  $(Q^*(s, a))$  را توصیف می‌کند، در پایین آورده شده است.

$$Q^*(s, a) = \mathbb{E}_{s' \sim P} \left[ r(s, a) + \gamma \max_{a'} Q^*(s', a') \right] \quad (۱۸-۳)$$

عبارت  $s' \sim P$  به این معنی است که وضعیت بعدی یعنی  $s'$  از توزیع احتمال  $P(\cdot | s, a)$  نمونه‌گرفته می‌شود. در معادله بلمن نقطه شروع برای یادگیری  $Q^*(s, a)$  یک مقداردهی تقریبی است. پارامترهای شبکه عصبی  $Q_\phi(s, a)$  با علامت  $\phi$  نشان داده شده است. مجموعه  $\mathcal{D}$  شامل اطلاعات جمع‌آوری شده تغییر از یک حالت به حالت دیگر  $(s, a, r, s', d)$  (که  $d$  نشان می‌دهد که آیا وضعیت  $s'$  پایانی است یا خیر) است. در بهینه‌سازی از تابع خطای میانگین مربعات بلمن<sup>۳۰</sup> (MSBE) استفاده شده است که معیاری برای نزدیکی  $Q_\phi$  به حالت بهینه برای برآورده کردن معادله بلمن است.

<sup>28</sup>Deep Deterministic Policy Gradient (DDPG)

<sup>29</sup>Off-Policy

<sup>30</sup>Mean Squared Bellman Error



$$L(\phi, \mathcal{D}) = \mathbb{E}_{(s,a,r,s',d) \sim \mathcal{D}} \left[ \left( Q_{\phi}(s, a) - \left( r + \gamma(1-d) \max_{a'} Q_{\phi}(s', a') \right) \right)^2 \right] \quad (۱۹-۳)$$

در الگوریتم DDPG دو ترفند برای عملکرد بهتر استفاده شده است که در ادامه به بررسی آن پرداخته شده است.

- بافرهای تکرار بازی

الگوریتم‌های یادگیری تقویتی جهت آموزش یک شبکه عصبی عمیق برای تقریب  $Q^*(s, a)$  از بافرهای تکرار بازی<sup>۳۱</sup> تجربه شده استفاده می‌کنند. این مجموعه  $\mathcal{D}$  شامل تجربیات قبلی عامل است. برای داشتن رفتار پایدار در الگوریتم، بافر تکرار بازی باید به اندازه کافی بزرگ باشد تا شامل یک دامنه گسترده از تجربیات شود. انتخاب داده‌های بافر به دقت انجام شده است چرا که اگر فقط از داده‌های بسیار جدید استفاده شود، بیش‌برازش<sup>۳۲</sup> رخ می‌دهد و اگر از تجربه بیش از حد استفاده شود، ممکن است فرآیند یادگیری کند شود.

- شبکه‌های هدف

الگوریتم‌های یادگیری  $Q$  از شبکه‌های هدف استفاده می‌کنند. اصطلاح زیر به عنوان هدف شناخته می‌شود.

$$r + \gamma(1-d) \max_{a'} Q_{\phi}(s', a') \quad (۲۰-۳)$$

در هنگام کمینه کردن تابع خطای میانگین مربعات بلمن، سعی شده است تا تابع  $Q$  شبیه‌تر به هدف یعنی رابطه (۲۰-۳) شود. اما مشکل این است که هدف بستگی به پارامترهای در حال آموزش  $\phi$  دارد. این باعث ایجاد ناپایداری در کمینه کردن تابع خطای میانگین مربعات بلمن می‌شود. راه حل آن استفاده از یک مجموعه پارامترهایی است که با تأخیر زمانی به  $\phi$  نزدیک می‌شوند. به عبارت دیگر، یک شبکه دوم ایجاد می‌شود که به آن شبکه هدف گفته می‌شود. شبکه هدف با تأخیر پارامترهای شبکه اول را دنبال می‌کند. پارامترهای شبکه هدف با نشان  $\phi_{\text{targ}}$  نشان داده می‌شوند. در الگوریتم DDPG، شبکه هدف در هر به‌روزرسانی شبکه اصلی، با میانگین‌گیری پولیاک<sup>۳۳</sup> به صورت زیر به‌روزرسانی می‌شود.

$$\phi_{\text{targ}} \leftarrow \rho \phi_{\text{targ}} + (1 - \rho) \phi \quad (۲۱-۳)$$

در رابطه بالا  $\rho$  یک ابرپارامتر<sup>۳۴</sup> است که بین صفر و یک انتخاب می‌شود. در این پژوهش این مقدار نزدیک به یک در نظر گرفته شده است.

<sup>31</sup>Replay Buffers

<sup>32</sup>Overfit

<sup>33</sup>Polyak Averaging

<sup>34</sup>Hyperparameter

الگوریتم DDPG نیاز به یک شبکه سیاست هدف ( $\mu_{\theta_{\text{targ}}}$ ) برای محاسبه عمل‌هایی که به‌طور تقریبی بیشینه  $Q_{\phi_{\text{targ}}}$  را حاصل کند، را دارد. برای رسیدن به این شبکه سیاست هدف از همان روشی که تابع  $Q$  به دست می‌آید یعنی با میانگین‌گیری پولیاک از پارامترهای سیاست در طول زمان آموزش استفاده می‌شود.

با در نظر گرفتن موارد اشاره‌شده، یادگیری  $Q$  در DDPG با کمینه‌کردن تابع خطای میانگین مربعات بلمن (MSBE) یعنی معادله (۲۲-۳) با استفاده از کاهش گرادیان تصادفی<sup>۳۵</sup> انجام می‌شود.

$$L(\phi, \mathcal{D}) = \mathbb{E}_{(s,a,r,s',d) \sim \mathcal{D}} \left[ \left( Q_{\phi}(s, a) - (r + \gamma(1-d)Q_{\phi_{\text{targ}}}(s', \mu_{\theta_{\text{targ}}}(s'))) \right)^2 \right] \quad (22-3)$$

### ۲-۲-۳ سیاست در DDPG

در این بخش یک سیاست تعیین‌شده  $\mu_{\theta}(s)$  یاد گرفته می‌شود تا عملی را انجام می‌دهد که بیشینه  $Q_{\phi}(s, a)$  رخ دهد. از آنجا که فضای عمل پیوسته است و فرض شده‌است که تابع  $Q$  نسبت به عمل مشتق‌پذیر است، رابطه زیر با استفاده از صعود گرادیان<sup>۳۶</sup> (تنها نسبت به پارامترهای سیاست) بیشینه می‌شود.

$$\max_{\theta} \mathbb{E}_{s \sim \mathcal{D}} [Q_{\phi}(s, \mu_{\theta}(s))] \quad (23-3)$$

### ۳-۲-۳ اکتشاف و بهره‌برداری در DDPG

برای بهبود اکتشاف<sup>۳۷</sup> در سیاست‌های DDPG، در زمان آموزش نویز به عمل‌ها اضافه می‌شود. نویسندگان مقاله DDPG [۲۶] توصیه کرده‌اند که نویز OU<sup>۳۸</sup> با هم‌بندی زمانی<sup>۳۹</sup> اضافه شود. در زمان بهره‌برداری<sup>۴۰</sup> سیاست، از آنچه یاد گرفته است، نویز به عمل‌ها اضافه نمی‌شود.

### ۴-۲-۳ شبکه‌کد DDPG

در این بخش، شبکه‌کد الگوریتم DDPG پیاده‌سازی شده آورده شده‌است. در این پژوهش الگوریتم ۱ در محیط پایتون با استفاده از کتابخانه TensorFlow [۲۷] پیاده‌سازی شده‌است.

<sup>35</sup>Stochastic Gradient Descent

<sup>36</sup>Gradient Ascent

<sup>37</sup>Exploration

<sup>38</sup>Ornstein-Uhlenbeck

<sup>39</sup>Time-Correlated

<sup>40</sup>Exploitation

ورودی: پارامترهای اولیه سیاست  $(\theta)$ ، پارامترهای تابع  $Q(\phi)$ ، بافر تکرار بازی خالی  $(\mathcal{D})$

۱: پارامترهای هدف را برابر با پارامترهای اصلی قرار دهید  $\phi_{\text{targ}} \leftarrow \phi, \theta_{\text{targ}} \leftarrow \theta$

۲: تا وقتی همگرایی رخ دهد:

۳: وضعیت  $s$  را مشاهده کرده و عمل  $a = \text{clip}(\mu_\theta(s) + \epsilon, a_{\text{Low}}, a_{\text{High}})$  را انتخاب کنید به طوری که  $\epsilon \sim \mathcal{N}$  است.

۴: عمل  $a$  را در محیط اجرا کنید.

۵: وضعیت بعدی  $s'$ ، پاداش  $r$  و سیگنال پایان  $d$  را مشاهده کنید تا نشان دهد آیا  $s'$  پایانی است یا خیر.

۶: اگر  $s'$  پایانی است، وضعیت محیط را بازنشانی کنید.

۷: اگر زمان بهروزرسانی فرا رسیده است:

۸: به ازای هر تعداد بهروزرسانی:

۹: یک دسته تصادفی گذر از یک حالت به حالت دیگر،  $B = \{(s, a, r, s', d)\}$ ، از  $\mathcal{D}$  نمونه‌گیری شود.

۱۰: هدف را محاسبه کنید:

$$y(r, s', d) = r + \gamma(1 - d)Q_{\phi_{\text{targ}}}(s', \mu_{\theta_{\text{targ}}}(s'))$$

۱۱: تابع  $Q$  را با یک مرحله از نزول گرادیان با استفاده از رابطه زیر بهروزرسانی کنید:

$$\nabla_{\phi} \frac{1}{|B|} \sum_{(s, a, r, s', d) \in B} (Q_{\phi}(s, a) - y(r, s', d))^2$$

۱۲: سیاست را با یک مرحله از صعود گرادیان با استفاده از رابطه زیر بهروزرسانی کنید:

$$\nabla_{\theta} \frac{1}{|B|} \sum_{s \in B} Q_{\phi}(s, \mu_{\theta}(s))$$

۱۳: شبکه‌های هدف را با استفاده از معادلات زیر بهروزرسانی کنید:

$$\phi_{\text{targ}} \leftarrow \rho \phi_{\text{targ}} + (1 - \rho) \phi$$

$$\theta_{\text{targ}} \leftarrow \rho \theta_{\text{targ}} + (1 - \rho) \theta$$

### ۳-۳ عامل گرادیان سیاست عمیق قطعی تاخیری دوگانه

عامل گرادیان سیاست عمیق قطعی تاخیری دوگانه<sup>۴۱</sup> یکی از الگوریتم‌های یادگیری تقویتی است که برای حل مسائل کنترل در محیط‌های پیوسته طراحی شده‌است. این الگوریتم بر اساس الگوریتم DDPG توسعه یافته و با استفاده از تکنیک‌های مختلف، پایداری و کارایی یادگیری را بهبود می‌بخشد. در حالی که DDPG گاهی اوقات می‌تواند عملکرد بسیار خوبی داشته باشد، اما اغلب نسبت به ابرپارامترها و سایر انواع تنظیمات یادگیری حساس است. یک حالت رایج شکست عامل DDPG در یادگیری این است که تابع  $Q$  یادگرفته شده شروع به بیش برآورد مقادیر  $Q$  می‌کند که منجر به واگرایی سیاست می‌شود. واگرایی به این دلیل رخ می‌دهد که در فرایند یادگیری سیاست از تخمین تابع  $Q$  استفاده می‌شود که افزایش خطای تابع  $Q$  منجر به ناپایداری در یادگیری سیاست می‌شود.

الگوریتم TD3 (Twin Delayed DDPG) از دو طرفند زیر جهت بهبود مشکلات اشاره شده استفاده می‌کند.

- یادگیری دوگانه‌ی محدود شده<sup>۴۲</sup>: الگوریتم TD3 به جای یک تابع  $Q$ ، دو تابع  $Q_{\phi_1}$  و  $Q_{\phi_2}$  را یاد می‌گیرد (از این رو دوگانه<sup>۴۳</sup> نامیده می‌شود) و از کوچک‌ترین مقدار این دو  $Q_{\phi_1}$  و  $Q_{\phi_2}$  در تابع بلمن استفاده می‌شود. نحوه محاسبه هدف بر اساس دو تابع  $Q$  اشاره شده در رابطه (۲۴-۳) آورده شده‌است.

$$y(r, s', d) = r + \gamma(1 - d) \min_{i=1,2} Q_{\phi_i, \text{targ}}(s', a'(s')) \quad (24-3)$$

سپس، در هر دو تابع  $Q_{\phi_1}$  و  $Q_{\phi_2}$  یادگیری انجام می‌شود.

$$L(\phi_1, \mathcal{D}) = \mathbb{E}_{(s,a,r,s',d) \sim \mathcal{D}} \left( Q_{\phi_1}(s, a) - y(r, s', d) \right)^2 \quad (25-3)$$

$$L(\phi_2, \mathcal{D}) = \mathbb{E}_{(s,a,r,s',d) \sim \mathcal{D}} \left( Q_{\phi_2}(s, a) - y(r, s', d) \right)^2 \quad (26-3)$$

- به‌روزرسانی‌های تاخیری سیاست<sup>۴۴</sup>: الگوریتم TD3 سیاست را با تاخیر بیشتری نسبت به تابع  $Q$  به‌روزرسانی می‌کند. در مرجع [۲۸] توصیه شده‌است که برای هر دو به‌روزرسانی تابع  $Q$ ، یک به‌روزرسانی سیاست انجام شود.

<sup>41</sup>Twin Delayed Deep Deterministic Policy Gradient (TD3)

<sup>42</sup>Clipped Double-Q Learning

<sup>43</sup>twin

<sup>44</sup>Delayed Policy Updates

این دو ترفند منجر به بهبود قابل توجه عملکرد TD3 نسبت به DDPG پایه می‌شوند. در نهایت سیاست با به حداکثر رساندن  $Q_{\phi_1}$  آموخته می‌شود:

$$\max_{\theta} E_{s \sim \mathcal{D}} [Q_{\phi_1}(s, \mu_{\theta}(s))] \quad (27-3)$$

### ۱-۳-۳ اکتشاف و بهره‌برداری در TD3

الگوریتم TD3 یک سیاست قطعی را به صورت غیر سیاست محور آموزش می‌دهد. از آنجایی که سیاست قطعی است، در ابتدا عامل تنوع کافی از اعمال را برای یافتن روش‌های مفید امتحان نمی‌کند. برای بهبود اکتشاف سیاست‌های TD3، در زمان آموزش نویز به عمل‌ها اضافه می‌شود، در این پژوهش نویز گاوسی با میانگین صفر بدون همبندی زمانی اعمال شده‌است. شدت نویز جهت بهره‌برداری بهتر در طول زمان کاهش می‌یابد.

### ۲-۳-۳ شبه‌کد TD3

در این بخش الگوریتم TD3 پیاده‌سازی شده آورده شده‌است. در این پژوهش الگوریتم ۴ در محیط پایتون با استفاده از کتابخانه PyTorch [۲۹] پیاده‌سازی شده‌است.

---

## الگوریتم ۲ عامل گرادیان سیاست عمیق قطعی تاخیری دوگانه

---

ورودی: پارامترهای اولیه سیاست  $(\theta)$ ، پارامترهای تابع  $Q$   $(\phi_1, \phi_2)$ ، بافر بازی خالی  $(\mathcal{D})$

۱: پارامترهای هدف را برابر با پارامترهای اصلی قرار دهید  $\phi_{\text{targ},2} \leftarrow \phi_2, \phi_{\text{targ},1} \leftarrow \phi_1, \theta_{\text{targ}} \leftarrow \theta$

۲: تا وقتی همگرایی رخ دهد:

۳: وضعیت  $(s)$  را مشاهده کرده و عمل  $a = \text{clip}(\mu_\theta(s) + \epsilon, a_{\text{Low}}, a_{\text{High}})$  را انتخاب کنید، به طوری که  $\epsilon \sim \mathcal{N}$  است.

۴: عمل  $a$  را در محیط اجرا کنید.

۵: وضعیت بعدی  $s'$ ، پاداش  $r$  و سیگنال پایان  $d$  را مشاهده کنید تا نشان دهد آیا  $s'$  پایانی است یا خیر.

۶: اگر  $s'$  پایانی است، وضعیت محیط را بازنشانی کنید.

۷: اگر زمان به روزرسانی فرا رسیده است:

۸: به ازای  $j$  در هر تعداد به روزرسانی:

۹: یک دسته تصادفی گذر از یک حالت به حالت دیگر،  $B = \{(s, a, r, s', d)\}$ ، از  $\mathcal{D}$  نمونه‌گیری شود.

۱۰: هدف را محاسبه کنید:

$$y(r, s', d) = r + \gamma(1 - d) \min_{i=1,2} Q_{\phi_{\text{targ},i}}(s', a'(s'))$$

۱۱: تابع  $Q$  را با یک مرحله از نزول گرادیان با استفاده از رابطه زیر به روزرسانی کنید:

$$\nabla_{\phi_i} \frac{1}{|B|} \sum_{(s,a,r,s',d) \in B} (Q_{\phi_i}(s, a) - y(r, s', d))^2 \quad \text{for } i = 1, 2$$

۱۲: اگر باقیمانده  $j$  بر تاخیر سیاست برابر ۰ باشد:

۱۳: سیاست را با یک مرحله از صعود گرادیان با استفاده از رابطه زیر به روزرسانی کنید:

$$\nabla_{\theta} \frac{1}{|B|} \sum_{s \in B} Q_{\phi_1}(s, \mu_\theta(s))$$

۱۴: شبکه‌های هدف را با استفاده از معادلات زیر به روزرسانی کنید:

$$\phi_{\text{targ},i} \leftarrow \rho \phi_{\text{targ},i} + (1 - \rho) \phi_i \quad \text{for } i = 1, 2$$

$$\theta_{\text{targ}} \leftarrow \rho \theta_{\text{targ}} + (1 - \rho) \theta$$


---

### ۴-۳ عامل عملگر نقاد نرم

عملگر نقاد نرم<sup>۴۵</sup> الگوریتمی است که یک سیاست تصادفی را به صورت سیاست محور بهینه می‌کند و پلی بین بهینه‌سازی سیاست تصادفی و رویکردهای مانند DDPG ایجاد می‌کند. این الگوریتم جانشین مستقیم TD3 نیست (زیرا تقریباً همزمان منتشر شده است)، اما ترفند یادگیری دوگانه محدود شده را در خود جای داده است و به دلیل سیاست تصادفی SAC، از چیزی روشی به نام صاف کردن سیاست هدف<sup>۴۶</sup> استفاده شده است. یکی از ویژگی‌های اصلی SAC، تنظیم آنتروپی است. آنتروپی معیاری از تصادفی بودن انتخاب عمل در سیاست است. سیاست به گونه ای آموزش داده می‌شود که حداکثر سازی تعادل بین بازده مورد انتظار و آنتروپی را بهینه کند. این شرایط ارتباط نزدیکی با تعادل اکتشاف-بهره‌برداری دارد. افزایش آنتروپی منجر به اکتشاف بیشتر می‌شود که می‌تواند یادگیری را در مراحل بعدی تسریع کند. همچنین می‌تواند از همگرایی زودهنگام سیاست به یک بهینه محلی بد جلوگیری کند. برای توضیح SAC، ابتدا باید بررسی یادگیری تقویتی تنظیم‌شده با آنتروپی<sup>۴۷</sup> را پرداخته شود. در RL تنظیم‌شده با آنتروپی، روابط تابع ارزش کمی متفاوت است.

### ۱-۴-۳ یادگیری تقویتی تنظیم‌شده با آنتروپی

آنتروپی کمیتی است که به طور کلی می‌گوید که یک متغیر تصادفی چقدر تصادفی است. اگر وزن یک سکه به گونه‌ای باشد که تقریباً همیشه نتیجه یک سمت آن باشد، آنتروپی پایینی دارد. اگر به طور مساوی وزن داشته باشد و شانس هر طرف سکه نصف باشد، آنتروپی بالایی دارد. فرض کنید  $x$  یک متغیر تصادفی با تابع چگالی احتمال  $P$  باشد. آنتروپی  $H$  متغیر  $x$  از توزیع آن  $P$  مطابق با رابطه زیر محاسبه می‌شود:

$$H(P) = \mathbb{E}_{x \sim P} [-\log P(x)] \quad (۲۸-۳)$$

### ۲-۴-۳ سیاست در SAC

در یادگیری تقویتی تنظیم‌شده با آنتروپی، عامل در هر مرحله زمانی متناسب با آنتروپی سیاست در آن مرحله زمانی پاداش دریافت می‌کند. بر اساس توضیحات اشاره شده روابط یادگیری تقویتی به صورت زیر می‌شود.

<sup>۴۵</sup>Soft Actor Critic (SAC)

<sup>۴۶</sup>Target Policy Smoothing

<sup>۴۷</sup>Entropy-Regularized Reinforcement Learning

$$\pi^* = \arg \max_{\pi} \mathbb{E}_{\tau \sim \pi} \sum_{t=0}^{\infty} \gamma^t \left( R(s_t, a_t, s_{t+1}) + \alpha H(\pi(\cdot|s_t)) \right) \quad (29-3)$$

که در آن  $(\alpha > 0)$  ضریب مبادله<sup>۴۸</sup> است.

### ۳-۴-۳ تابع ارزش در SAC

اکنون می‌توان تابع ارزش کمی متفاوت را بر اساس این مفهوم تعریف کرد.  $V^\pi$  به گونه‌ای تغییر می‌کند که پاداش‌های آنتروپی را از هر مرحله زمانی شامل می‌شود.

$$V^\pi(s) = \mathbb{E}_{\tau \sim \pi} \left[ \sum_{t=0}^{\infty} \gamma^t \left( R(s_t, a_t, s_{t+1}) + \alpha H(\pi(\cdot|s_t)) \right) \middle| s_0 = s \right] \quad (30-3)$$

### ۴-۴-۳ تابع Q در SAC

تابع  $Q^\pi$  به گونه‌ای تغییر می‌کند که پاداش‌های آنتروپی را از هر مرحله زمانی به جز مرحله اول شامل می‌شود.

$$Q^\pi(s, a) = \mathbb{E}_{\tau \sim \pi} \left[ \sum_{t=0}^{\infty} \gamma^t R(s_t, a_t, s_{t+1}) + \alpha \sum_{t=1}^{\infty} \gamma^t H(\pi(\cdot|s_t)) \middle| s_0 = s, a_0 = a \right] \quad (31-3)$$

با این تعاریف رابطه  $V^\pi$  و  $Q^\pi$  به صورت زیر است.

$$V^\pi(s) = \mathbb{E}_{a \sim \pi} [Q^\pi(s, a)] + \alpha H(\pi(\cdot|s)) \quad (32-3)$$

### ۵-۴-۳ معادله بلمن در SAC

معادله بلمن در حالت تنظیم‌شده با آنتروپی به صورت زیر ارائه می‌شود.

$$Q^\pi(s, a) = \mathbb{E}_{\substack{s' \sim P \\ a' \sim \pi}} [R(s, a, s') + \gamma (Q^\pi(s', a') + \alpha H(\pi(\cdot|s')))] \quad (33-3)$$

$$= \mathbb{E}_{s' \sim P} [R(s, a, s') + \gamma V^\pi(s')] \quad (34-3)$$

---

<sup>48</sup>Trade-Off



### ۶-۴-۳ یادگیری Q

با در نظر گرفتن موارد اشاره شده، یادگیری Q در SAC با کمینه کردن تابع خطای میانگین مربعات بلمن (MSBE) یعنی معادله (۳۵-۳) با استفاده از کاهش گرادیان انجام می شود.

$$L(\phi_i, \mathcal{D}) = \mathbb{E}_{(s,a,r,s',d) \sim \mathcal{D}} \left[ \left( Q_{\phi_i}(s, a) - y(r, s', d) \right)^2 \right] \quad (۳۵-۳)$$

در معادله (۳۵-۳) تابع هدف برای روش یادگیری تقویتی SAC به صورت زیر تعریف می شود.

$$y(r, s', d) = r + \gamma(1 - d) \left( \min_{j=1,2} Q_{\phi_{\text{targ},j}}(s', \tilde{a}') - \alpha \log \pi_{\theta}(\tilde{a}'|s') \right), \quad \tilde{a}' \sim \pi_{\theta}(\cdot|s') \quad (۳۶-۳)$$

نماد عمل بعدی را به جای  $a'$  به  $\tilde{a}'$  تغییر داده شده تا مشخص شود که عمل های بعدی باید آخرین سیاست نمونه برداری شوند در حالی که  $r$  و  $s$  باید از بافر تکرار بازی آمده باشند.

### ۷-۴-۳ سیاست در SAC

سیاست باید در هر وضعیت برای به حداکثر رساندن بازگشت مورد انتظار آینده به همراه آنتروپی مورد انتظار آینده عمل کند. یعنی باید  $V^{\pi}(s)$  را به حداکثر برساند، بسط تابع ارزش در ادامه آمده است.

$$V^{\pi}(s) = \mathbb{E}_{a \sim \pi} [Q^{\pi}(s, a)] + \alpha H(\pi(\cdot|s)) \quad (۳۷-۳)$$

$$= \mathbb{E}_{a \sim \pi} [Q^{\pi}(s, a) - \alpha \log \pi(a|s)] \quad (۳۸-۳)$$

روش بهینه سازی سیاست از ترفند پارامترسازی مجدد<sup>۴۹</sup> استفاده می کند، که در آن نمونه ای از  $\pi_{\theta}(\cdot|s)$  با محاسبه یک تابع قطعی از وضعیت، پارامترهای سیاست و نویز مستقل استخراج می شود. در این پژوهش مانند نویسندگان مقاله SAC [۳۰]، از یک سیاست گاوسی<sup>۵۰</sup> فشرده استفاده شده است. بر اساس این روش نمونه ها مطابق با رابطه زیر بدست می آیند:

$$\tilde{a}_{\theta}(s, \xi) = \tanh(\mu_{\theta}(s) + \sigma_{\theta}(s) \odot \xi), \quad \xi \sim \mathcal{N}(0, I) \quad (۳۹-۳)$$

تابع  $\tanh$  در سیاست SAC تضمین می کند که اعمال در یک محدوده متناهی محدود شوند. این مورد در سیاست های VPG، TRPO و PPO وجود ندارد. همچنین اعمال این تابع توزیع را از حالت گاوسی تغییر

می دهد.

<sup>49</sup>Reparameterization

<sup>50</sup>Squashed Gaussian Policy

در الگوریتم SAC با استفاده از ترفند پارامتری‌سازی مجدد، عمل‌ها از یک توزیع نرمال به‌وسیله نویز تصادفی تولید شده و به این ترتیب امکان محاسبه مشتق‌ها به‌طور مستقیم از طریق تابع توزیع فراهم می‌شود، که باعث ثبات و کارایی بیشتر در آموزش می‌شود. اما در حالت بدون پارامتری‌سازی مجدد، عمل‌ها مستقیماً از توزیع سیاست نمونه‌برداری می‌شوند و محاسبه گرادیان نیازمند استفاده از ترفند نسبت احتمال<sup>۵۱</sup> است که معمولاً باعث افزایش واریانس و ناپایداری در آموزش می‌شود.

$$\mathbb{E}_{a \sim \pi_\theta} [Q^{\pi_\theta}(s, a) - \alpha \log \pi_\theta(a|s)] = \mathbb{E}_{\xi \sim \mathcal{N}} [Q^{\pi_\theta}(s, \tilde{a}_\theta(s, \xi)) - \alpha \log \pi_\theta(\tilde{a}_\theta(s, \xi)|s)] \quad (۴۰-۳)$$

برای به‌دست آوردن تابع هزینه سیاست، گام نهایی این است که باید  $Q^{\pi_\theta}$  را با یکی از تخمین‌زننده‌های تابع خود جایگزین کنیم. برخلاف TD3 که از  $Q_{\phi_1}$  (فقط اولین تخمین‌زننده  $Q$ ) استفاده می‌کند، SAC از  $\min_{j=1,2} Q_{\phi_j}$  (کمینه‌ی دو تخمین‌زننده  $Q$ ) استفاده می‌کند. بنابراین، سیاست طبق رابطه زیر بهینه‌سازی می‌شود:

$$\max_{\theta} \mathbb{E}_{\substack{s \sim \mathcal{D} \\ \xi \sim \mathcal{N}}} \left[ \min_{j=1,2} Q_{\phi_j}(s, \tilde{a}_\theta(s, \xi)) - \alpha \log \pi_\theta(\tilde{a}_\theta(s, \xi)|s) \right] \quad (۴۱-۳)$$

که تقریباً مشابه بهینه‌سازی سیاست در DDPG و TD3 است، به جز ترفند min-double-Q، تصادفی بودن و عبارت آنتروپی.

### ۸-۴-۳ اکتشاف و بهره‌برداری در SAC

الگوریتم SAC یک سیاست تصادفی با تنظیم‌سازی آنتروپی آموزش می‌دهد و به صورت سیاست محور به اکتشاف می‌پردازد. ضریب تنظیم آنتروپی  $\alpha$  به طور صریح تعادل بین اکتشاف و بهره‌برداری را کنترل می‌کند، به‌طوری‌که مقادیر بالاتر  $\alpha$  به اکتشاف بیشتر و مقادیر پایین‌تر  $\alpha$  به بهره‌برداری بیشتر منجر می‌شود. مقدار بهینه  $\alpha$  (که به یادگیری پایدارتر و پاداش بالاتر منجر می‌شود) ممکن است در محیط‌های مختلف متفاوت باشد و نیاز به تنظیم دقیق داشته باشد. در زمان آزمایش، برای ارزیابی میزان بهره‌برداری سیاست از آنچه یاد گرفته است، تصادفی بودن را حذف کرده و از عمل میانگین به جای نمونه‌برداری از توزیع استفاده می‌کنیم. این روش معمولاً عملکرد را نسبت به سیاست تصادفی بهبود می‌بخشد.

<sup>51</sup>Likelihood Ratio Trick

### ۳-۴-۹ شبکه‌کد SAC

در این بخش الگوریتم SAC پیاده‌سازی شده آورده شده است. در این پژوهش الگوریتم ۳ در محیط پایتون با استفاده از کتابخانه PyTorch [۲۹] پیاده‌سازی شده است.

الگوریتم ۳ عامل عملگرد نقاد نرم

ورودی: پارامترهای اولیه سیاست  $(\theta)$ ، پارامترهای تابع  $Q$   $(\phi_1, \phi_2)$ ، بافر بازی خالی  $(\mathcal{D})$

۱: پارامترهای هدف را برابر با پارامترهای اصلی قرار دهید  $\theta_{\text{targ}} \leftarrow \theta$ ،  $\phi_{\text{targ},1} \leftarrow \phi_1$ ،  $\phi_{\text{targ},2} \leftarrow \phi_2$

۲: تا وقتی همگرایی رخ دهد:

۳: وضعیت  $(s)$  را مشاهده کرده و عمل  $a \sim \pi_{\theta}(\cdot|s)$  را انتخاب کنید.

۴: عمل  $a$  را در محیط اجرا کنید.

۵: وضعیت بعدی  $s'$ ، پاداش  $r$  و سیگنال پایان  $d$  را مشاهده کنید تا نشان دهد آیا  $s'$  پایانی است یا

خیر.

۶: اگر  $s'$  پایانی است، وضعیت محیط را بازنشانی کنید.

۷: اگر زمان به‌روزرسانی فرا رسیده است:

۸: به ازای  $j$  در هر تعداد به‌روزرسانی:

۹: یک دسته تصادفی گذر از یک حالت به حالت دیگر،  $B = \{(s, a, r, s', d)\}$ ، از  $\mathcal{D}$

نمونه‌گیری شود.

۱۰: هدف را محاسبه کنید:

$$y(r, s', d) = r + \gamma(1 - d) \left( \min_{i=1,2} Q_{\phi_{\text{targ},i}}(s', \tilde{a}') - \alpha \log \pi_{\theta}(\tilde{a}'|s') \right), \quad \tilde{a}' \sim \pi_{\theta}(\cdot|s')$$

۱۱: تابع  $Q$  را با یک مرحله از نزول گرادیان با استفاده از رابطه زیر به‌روزرسانی کنید:

$$\nabla_{\phi_i} \frac{1}{|B|} \sum_{(s,a,r,s',d) \in B} (Q_{\phi_i}(s, a) - y(r, s', d))^2 \quad \text{for } i = 1, 2$$

۱۲: سیاست را با یک مرحله از صعود گرادیان با استفاده از رابطه زیر به‌روزرسانی کنید:

$$\nabla_{\theta} \frac{1}{|B|} \sum_{s \in B} \left( \min_{i=1,2} Q_{\phi_i}(s, \tilde{a}_{\theta}(s)) - \alpha \log \pi_{\theta}(\tilde{a}_{\theta}(s)|s) \right)$$

۱۳: شبکه‌های هدف را با استفاده از معادلات زیر به‌روزرسانی کنید:

$$\phi_{\text{targ},i} \leftarrow \rho \phi_{\text{targ},i} + (1 - \rho) \phi_i \quad \text{for } i = 1, 2$$

## ۵-۳ عامل بهینه‌سازی سیاست مجاور

الگوریتم بهینه‌سازی سیاست مجاور<sup>۵۲</sup> یک الگوریتم بهینه‌سازی سیاست مبتنی بر گرادینان است که برای حل مسائل کنترل مسئله‌های یادگیری تقویتی استفاده می‌شود. این الگوریتم از الگوریتم TRPO<sup>۵۳</sup> الهام گرفته شده است و با اعمال تغییراتی بر روی آن، سرعت و کارایی آن را افزایش داده است. در این بخش به بررسی این الگوریتم و نحوه عملکرد آن می‌پردازیم. الگوریتم PPO همانند سایر الگوریتم‌های یادگیری تقویتی، به دنبال یافتن بهترین گام ممکن برای بهبود عملکرد سیاست با استفاده از داده‌های موجود است. این الگوریتم تلاش می‌کند تا از گام‌های بزرگ که می‌توانند منجر به افت ناگهانی عملکرد شوند، اجتناب کند. برخلاف روش‌های پیچیده‌تر مرتبه دوم مانند TRPO، PPO از مجموعه‌ای از روش‌های مرتبه اول ساده‌تر برای حفظ نزدیکی سیاست‌های جدید به سیاست‌های قبلی استفاده می‌کند. این سادگی در پیاده‌سازی، PPO را به روشی کارآمدتر تبدیل می‌کند، در حالی که از نظر تجربی نشان داده شده است که عملکردی حداقل به اندازه TRPO دارد. از جمله ویژگی‌های مهم این الگوریتم می‌توان به سیاست محور بودن آن اشاره کرد. این الگوریتم برای عامل‌های یادگیری تقویتی که سیاست‌های پیوسته و گسسته دارند، مناسب است.

الگوریتم PPO دارای دو گونه اصلی PPO-Clip و PPO-Penalty است. در ادامه به بررسی هر یک از این دو گونه پرداخته شده است.

- **روش PPO-Penalty:** روش PPO-Penalty به دنبال حل تقریبی و به‌روزرسانی با محدودیت واگرایی کولباک-لیبلر<sup>۵۴</sup> است، مشابه روشی که در الگوریتم TRPO استفاده شده است. با این حال، به جای اعمال یک محدودیت سخت<sup>۵۵</sup>، PPO-Penalty واگرایی KL را در تابع هدف جریمه می‌کند. این جریمه به طور خودکار در طول آموزش تنظیم می‌شود تا از افت ناگهانی عملکرد جلوگیری کند.

- **روش PPO-Clip:** در این روش، هیچ عبارت واگرایی KL در تابع هدف وجود ندارد و هیچ محدودیتی اعمال نمی‌شود. در عوض، PPO-Clip از یک عملیات بریدن<sup>۵۶</sup> خاص در تابع هدف استفاده می‌کند تا انگیزه سیاست جدید برای دور شدن از سیاست قبلی را از بین ببرد.

در این پژوهش از روش PPO-Clip برای آموزش عامل‌های یادگیری تقویتی استفاده شده است.

<sup>52</sup>Proximal Policy Optimization (PPO)

<sup>53</sup>Trust Region Policy Optimization

<sup>54</sup>Kullback-Leibler (KL) Divergence

<sup>55</sup>Hard Constraint

<sup>56</sup>Clipping

### ۳-۵-۱ سیاست در الگوریتم PPO

تابع سیاست در الگوریتم PPO به صورت یک شبکه عصبی پیچیده پیاده‌سازی شده است. این شبکه عصبی ورودی‌های محیط را دریافت کرده و اقدامی را که باید عامل انجام دهد را تولید می‌کند. این شبکه عصبی می‌تواند شامل چندین لایه پنهان با توابع فعال‌سازی مختلف باشد. در این پژوهش از یک شبکه عصبی با سه لایه پنهان و تابع فعال‌سازی  $\tanh$  استفاده شده است. تابع سیاست در الگوریتم PPO به صورت زیر به‌روزرسانی می‌شود:

$$\theta_{k+1} = \arg \max_{\theta} \mathbb{E}_{s, a \sim \pi_{\theta_k}} [L(s, a, \theta_k, \theta)] \quad (۴۲-۳)$$

در این پژوهش برای به حداکثر رساندن تابع هدف، چندین گام بهینه‌سازی گرادیان کاهشی تصادفی<sup>۵۷</sup> اجرا شده است. در معادله بالا  $L$  به صورت زیر تعریف شده است:

$$L(s, a, \theta_k, \theta) = \min \left( \frac{\pi_{\theta}(a|s)}{\pi_{\theta_k}(a|s)} A^{\pi_{\theta_k}}(s, a), \text{clip} \left( \frac{\pi_{\theta}(a|s)}{\pi_{\theta_k}(a|s)}, 1 - \epsilon, 1 + \epsilon \right) A^{\pi_{\theta_k}}(s, a) \right) \quad (۴۳-۳)$$

که در آن  $\epsilon$  یک فرامتر است که مقدار آن معمولاً کوچک است. این فرامتر مشخص می‌کند که چقدر اندازه گام بهینه‌سازی باید محدود شود. در این پژوهش مقدار  $\epsilon = 0.2$  انتخاب شده است. جهت سادگی در پیاده‌سازی معادله (۴۳-۳) به معادله تغییر داده شده است.

$$L(s, a, \theta_k, \theta) = \min \left( \frac{\pi_{\theta}(a|s)}{\pi_{\theta_k}(a|s)} A^{\pi_{\theta_k}}(s, a), g(\epsilon, A^{\pi_{\theta_k}}(s, a)) \right) \quad (۴۴-۳)$$

که تابع  $g$  به صورت زیر تعریف شده است.

$$g(\epsilon, A) = \begin{cases} (1 + \epsilon)A & A \geq 0 \\ (1 - \epsilon)A & A < 0 \end{cases} \quad (۴۵-۳)$$

در حالی که این نوع محدود کردن (PPO-Clip) تا حد زیادی به اطمینان از به‌روزرسانی‌های معقول سیاست کمک می‌کند، همچنان ممکن است با سیاست به‌دست آید که بیش از حد از سیاست قدیمی دور باشد. برای جلوگیری از این امر، پیاده‌سازی‌های مختلف PPO از مجموعه‌ای از ترفندها استفاده می‌کنند. در پیاده‌سازی این پژوهش، از روشی ساده به نام توقف زودهنگام<sup>۵۸</sup> استفاده شده است. اگر میانگین واگرایی کولباک-لیبلر (KL) خط‌مشی جدید از خط‌مشی قدیمی از یک آستانه فراتر رود، گام‌های گرادیان (بهینه‌سازی) را متوقف می‌شوند.

<sup>57</sup>Stochastic Gradient Descent (SGD)

<sup>58</sup>Early Stopping

### ۳-۵-۲ اکتشاف و بهره‌برداری در PPO

الگوریتم PPO از یک سیاست تصادفی به صورت سیاست محور برای آموزش استفاده می‌کند. این به این معنی است که اکتشاف محیط با نمونه‌گیری عمل‌ها بر اساس آخرین نسخه از این سیاست تصادفی انجام می‌شود. میزان تصادفی بودن انتخاب عمل به شرایط اولیه و فرآیند آموزش بستگی دارد.

در طول آموزش، سیاست به طور کلی به تدریج کمتر تصادفی می‌شود، زیرا قانون به‌روزرسانی آن را تشویق می‌کند تا از پاداش‌هایی که قبلاً پیدا کرده است، بهره‌برداری کند. البته این موضوع می‌تواند منجر به گیر افتادن خط‌مشی در بهینه‌های محلی<sup>۵۹</sup> شود.

### ۳-۵-۳ شبه‌کد PPO

در این بخش الگوریتم PPO پیاده‌سازی شده آورده شده است. در این پژوهش الگوریتم<sup>۴</sup> در محیط پایتون با استفاده از کتابخانه PyTorch [۲۹] پیاده‌سازی شده است.

---

<sup>59</sup>Local Optima

---

## الگوریتم ۴ بهینه‌سازی سیاست مجاور (PPO-Clip)

---

ورودی: پارامترهای اولیه سیاست  $(\theta_0)$ ، پارامترهای تابع ارزش  $(\phi_0)$

۱: به ازای  $k = 0, 1, 2, \dots$ :

۲: مجموعه‌ای از مسیرها به نام  $\mathcal{D}_k = \{\tau_i\}$  با اجرای سیاست  $\pi_k = \pi(\theta_k)$  در محیط جمع‌آوری شود.

۳: پاداش‌های باقی‌مانده  $(\hat{R}_t)$  محاسبه شود.

۴: برآوردهای مزیت را محاسبه کنید،  $\hat{A}_t$  (با استفاده از هر روش تخمین مزیت) بر اساس تابع ارزش فعلی  $V_{\phi_k}$ .

۵: سیاست را با به حداکثر رساندن تابع هدف PPO-Clip به‌روزرسانی کنید:

$$\theta_{k+1} = \arg \max_{\theta} \frac{1}{|\mathcal{D}_k|T} \sum_{\tau \in \mathcal{D}_k} \sum_{t=0}^T \min \left( \frac{\pi_{\theta}(a_t|s_t)}{\pi_{\theta_k}(a_t|s_t)} A^{\pi_{\theta_k}}(s_t, a_t), g(\epsilon, A^{\pi_{\theta_k}}(s_t, a_t)) \right)$$

معمولاً از طریق گرادیان افزایشی تصادفی Adam.

۶: برازش تابع ارزش با رگرسیون بر روی میانگین مربعات خطا:

$$\phi_{k+1} = \arg \min_{\phi} \frac{1}{|\mathcal{D}_k|T} \sum_{\tau \in \mathcal{D}_k} \sum_{t=0}^T \left( V_{\phi}(s_t) - \hat{R}_t \right)^2$$

معمولاً از طریق برخی از الگوریتم‌های کاهشی گرادیان.

---

## فصل ۴

# یادگیری تقویتی چند عاملی

کاربردهای پیچیده در یادگیری تقویتی نیازمند اضافه کردن چندین عامل<sup>۱</sup> برای انجام همزمان وظایف مختلف هستند. با این حال، افزایش تعداد عامل‌ها چالش‌هایی در مدیریت تعاملات میان آن‌ها به همراه دارد. در این فصل، بر اساس مسئله بهینه‌سازی برای هر عامل، مفهوم تعادل<sup>۲</sup> معرفی شده تا رفتارهای توزیعی چندعاملی را تنظیم کند. رابطه رقابت میان عامل‌ها در سناریوهای مختلف تحلیل شده و آن‌ها با الگوریتم‌های معمول یادگیری تقویتی چندعاملی ترکیب شده‌اند. بر اساس انواع تعاملات، یک چارچوب نظریه بازی برای مدل‌سازی عمومی در سناریوهای چندعاملی استفاده شده است. با تحلیل بهینه‌سازی و وضعیت تعادل برای هر بخش از چارچوب، سیاست بهینه یادگیری تقویتی چندعاملی برای هر عامل بررسی شده است.

## ۴-۱ تعاریف و مفاهیم اساسی

یادگیری تقویتی چندعاملی<sup>۳</sup> به بررسی چگونگی یادگیری و تصمیم‌گیری چندین عامل مستقل در یک محیط مشترک پرداخته می‌شود. برای تحلیل دقیق و درک بهتر این حوزه، اجزای اصلی آن شامل عامل، سیاست و مطلوبیت<sup>۴</sup> در نظر گرفته می‌شوند که در ادامه به صورت مختصر و منسجم تشریح می‌گردند.

- عامل: یک موجودیت مستقل به عنوان عامل تعریف می‌شود که به صورت خودمختار با محیط تعامل کرده و بر اساس مشاهدات رفتار سایر عامل‌ها، سیاست‌هایش انتخاب می‌گردند تا سود حداکثر یا ضرر حداقل حاصل شود. در سناریوهای مورد بررسی، چندین عامل به صورت مستقل عمل می‌کنند؛ اما اگر

---

<sup>1</sup>Multi-Agent

<sup>2</sup>Equilibrium

<sup>3</sup>Multi-Agent Reinforcement Learning (MARL)

<sup>4</sup>Utility



تعداد عامل‌ها به یک کاهش یابد، MARL به یادگیری تقویتی معمولی تبدیل می‌شود.

- سیاست: برای هر عامل در MARL، سیاستی خاص در نظر گرفته می‌شود که به عنوان روشی برای انتخاب اقدامات بر اساس وضعیت محیط و رفتار سایر عامل‌ها تعریف می‌گردد. این سیاست‌ها با هدف به حداکثر رساندن سود و به حداقل رساندن هزینه طراحی شده و تحت تأثیر محیط و سیاست‌های دیگر عامل‌ها قرار می‌گیرند.

- مطلوبیت: مطلوبیت هر عامل بر اساس نیازها و وابستگی‌هایش به محیط و سایر عامل‌ها تعریف شده و به صورت سود منهای هزینه، با توجه به اهداف مختلف محاسبه می‌شود. در سناریوهای چندعاملی، از طریق یادگیری از محیط و تعامل با دیگران، مطلوبیت هر عامل بهینه می‌گردد.

در این چارچوب، برای هر عامل در MARL تابع مطلوبیت خاصی در نظر گرفته شده و بر اساس مشاهدات و تجربیات حاصل از تعاملات، یادگیری سیاست به صورت مستقل انجام می‌شود تا ارزش مطلوبیت به حداکثر برسد، بدون اینکه مستقیماً به مطلوبیت سایر عامل‌ها توجه شود. این فرآیند ممکن است به رقابت یا همکاری میان عامل‌ها منجر گردد. با توجه به پیچیدگی تعاملات میان چندین عامل، تحلیل نظریه بازی‌ها به عنوان ابزاری مؤثر برای تصمیم‌گیری در این حوزه به کار گرفته می‌شود. بسته به سناریوهای مختلف، این بازی‌ها در دسته‌بندی‌های متفاوتی قرار داده شده که در بخش‌های بعدی بررسی خواهند شد.

## ۲-۴ نظریه بازی‌ها

نظریه بازی‌ها شاخه‌ای از ریاضیات است که به مطالعه تصمیم‌گیری در موقعیت‌هایی می‌پردازد که نتیجه انتخاب‌های هر فرد به تصمیمات دیگران وابسته است. این نظریه چارچوبی برای تحلیل تعاملات میان بازیکنان ارائه می‌دهد و در حوزه‌های مختلفی مانند اقتصاد، علوم سیاسی، زیست‌شناسی و علوم کامپیوتر کاربرد دارد. در این فصل، دو مفهوم کلیدی نظریه بازی‌ها یعنی تعادل نش و بازی‌های مجموع صفر بررسی شده است.

### ۱-۲-۴ تعادل نش

تعادل نش<sup>۵</sup> یکی از بنیادی‌ترین مفاهیم در نظریه بازی‌ها است که توسط جان نش در سال ۱۹۵۰ معرفی شد. این مفهوم به مجموعه‌ای از بازی‌ها اشاره دارد که در آن هیچ بازیکنی نمی‌تواند با تغییر یک‌جانبه سیاست خود، سود بیشتری به دست آورد، به شرطی که سیاست‌های سایر بازیکنان ثابت بماند.

<sup>۵</sup>Nash Equilibrium

- تعریف تعادل نش: فرض کنید یک بازی با  $n$  بازیکن داریم. هر بازیکن  $i$  دارای مجموعه سیاست‌های  $\Pi_i$  و تابع مطلوبیت  $u_i : \Pi_1 \times \Pi_2 \times \dots \times \Pi_n \rightarrow \mathbb{R}$  است. یک مجموعه سیاست  $\pi^* = (\pi_1^*, \pi_2^*, \dots, \pi_n^*)$  تعادل نش نامیده می‌شود اگر برای هر بازیکن  $i$  و هر سیاست  $\pi_i \in \Pi_i$  در وضعیت  $s$  داشته باشیم:

$$u_i(\pi_i^*, \pi_{-i}^*, s) \geq u_i(\pi_i, \pi_{-i}^*, s) \quad (۱-۴)$$

در اینجا،  $\pi_{-i}^*$  نشان‌دهنده سیاست‌های همه بازیکنان به جز بازیکن  $i$  است. در ادامه پژوهش جهت استفاده از چارچوب نظریه بازی در یادگیری تقویتی تابع مطلوبیت به‌گونه‌ای تعریف شده است که برابر با تابع ارزش  $u_i(\pi_i, \pi_{-i}, s) = V_i^{\pi_i, \pi_{-i}}(s)$  باشد.

- اهمیت تعادل نش: تعادل نش نقطه‌ای را در بازی مشخص می‌کند که هر بازیکن بهترین پاسخ را نسبت به انتخاب‌های دیگران ارائه داده است. این مفهوم به‌ویژه در بازی‌های غیرهمکارانه، به‌عنوان پیش‌بینی رفتار منطقی بازیکنان استفاده می‌شود و در زمینه‌هایی مانند یادگیری تقویتی چند عامله کاربرد گسترده‌ای دارد.

## ۲-۲-۴ بازی مجموع صفر

بازی‌های مجموع صفر<sup>۶</sup> دسته‌ای از بازی‌ها هستند که در آن‌ها تابع ارزش یک بازیکن دقیقاً برابر با ضرر بازیکن دیگر است. به عبارت دیگر، مجموع ارزشهای همه بازیکنان در هر مرحله صفر است.

- تعریف بازی مجموع صفر: در یک بازی دو نفره، اگر تابع ارزش بازیکن اول  $(V_1^{(\pi_1, \pi_2)}(s))$  و بازیکن دوم  $(V_2^{(\pi_1, \pi_2)}(s))$  به‌گونه‌ای باشد که برای هر مجموعه سیاست  $(\pi_1, \pi_2)$  به صورت زیر باشد را یک بازی مجموع صفر نامیده می‌شود.

$$V_1^{(\pi_1, \pi_2)}(s) + V_2^{(\pi_1, \pi_2)}(s) = 0 \rightarrow V_1^{(\pi_1, \pi_2)}(s) = -V_2^{(\pi_1, \pi_2)}(s) \quad (۲-۴)$$

- سیاست بهینه در بازی مجموع صفر: در بازی‌های مجموع صفر، سیاست بهینه هر بازیکن، انتخابی است که تابع ارزش خود را در برابر بهترین پاسخ حریف به حداکثر برساند. این سیاست اغلب به تعادل نش منجر می‌شود. سیاست بهینه دو بازیکن در بازی مجموع صفر با تابع ارزش معادله (۲-۴) به صورت زیر است.

<sup>۶</sup>Zero-Sum Games

$$V_1^*(s) = \max_{\pi_1} \min_{\pi_2} V_1^{(\pi_1, \pi_2)}(s) \tag{۳-۴}$$

$$V_2^*(s) = \max_{\pi_2} \min_{\pi_1} V_2^{(\pi_1, \pi_2)}(s) \tag{۴-۴}$$

## فصل ۵

### مدل سازی محیط یادگیری سه جسمی

مسیرهای فضایی سنتی تحت تأثیر گرانش یک جسم مرکزی (خورشید، زمین یا سیاره‌ای دیگر) شکل می‌گیرند و توسط اجسام سوم تحت تأثیر قرار می‌گیرند. تحلیل‌های مخروطی پیوسته نشان می‌دهند که چگونه می‌توان طراحی را از یک جسم مرکزی به جسم دیگر منتقل کرد، هنگامی که فضاپیما از حوزه تأثیر یک جسم عبور می‌کند. در برخی موارد، مأموریت فضاپیما آن را در ناحیه‌ای از فضا قرار می‌دهد که به‌طور همزمان تحت تأثیر دو جسم بزرگ است. این مسیرها نمی‌توانند از تحلیل دو جسم با اختلالات جسم سوم استفاده کنند، بلکه باید تأثیرات هر دو جسم به‌طور همزمان در نظر گرفته شوند. برای درک این مسئله، ابتدا به مطالعه مسئله عمومی سه جسمی خواهیم پرداخت و چگونگی اعمال آن به سیستم‌های واقعی را بررسی خواهیم کرد. سپس، برخی از مسیرها و تحلیل‌های جالبی که توسط فضاپیماهای مدرن استفاده می‌شوند، ارائه خواهیم داد.

در فصل اول معادلات عمومی حرکت اجسام متعدد را معرفی کردیم. علی‌رغم وجود ده ثابت حرکت، هیچ‌کس نتوانسته است مسئله عمومی سه جسمی را به‌صورت تحلیلی بسته حل کند—ممکن است که این کار غیرممکن باشد. بنابراین، تحقیقات بر روی ساده‌سازی مسئله عمومی متمرکز شده است. ساندمن در سال ۱۹۱۲ یک راه‌حل سری توانی یافت. زمانی که این راه‌حل با شرایط اولیه ترکیب شود، ارزیابی‌های عددی از مسیرها را در یک بازه زمانی محدود ارائه می‌دهد. برای مطالعه کامل مسئله، به کتاب Szebehely (۱۹۶۷) مراجعه کنید. یکی از راه‌حل‌های تحلیلی خاص—مسئله سه جسمی محدود—از زمان اوایل و لاگرانژ شناخته شده است. اخیراً، از تکنیک‌های عددی برای تولید راه‌حل‌ها استفاده شده است.

دانشمندان برای صدها سال مسئله سه جسمی را مطالعه کرده‌اند، اگرچه بیشتر تحقیقات از دهه ۱۹۶۰، با استفاده از فناوری محاسباتی مدرن، انجام شده است. تحلیل‌های آنها انواع مختلفی از مدارهای سه جسمی را کشف کرده است که بسیاری از آنها برای فضاپیماها بسیار مفید هستند. در این بخش، چندین گزینه مدار سه جسمی را بررسی خواهیم کرد.

## ۱-۵ مسئله سه جسمی محدود دایره‌ای

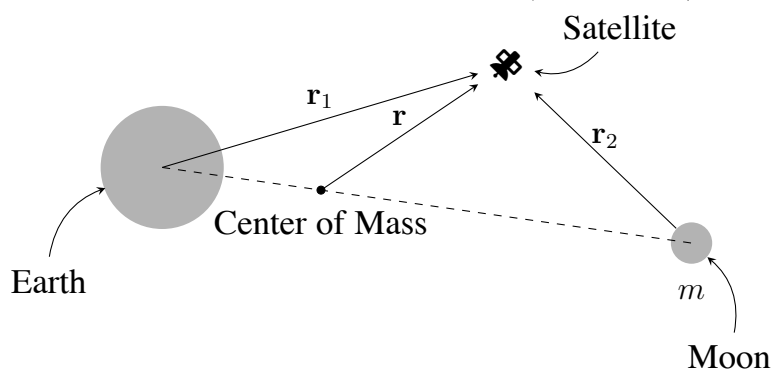
مسئله عمومی سه جسمی مسیره‌ای سه جسم پرجرم دلخواه را بررسی می‌کند که تحت تأثیر جاذبه متقابل قرار دارند. با این حال، این مسئله به مراتب عمومی‌تر از آن چیزی است که طراحان مأموریت‌های عملیاتی نیاز دارند. دو ساده‌سازی رایج وجود دارد که برای قابل دسترس‌تر و کاربردی‌تر کردن این مسئله در مسیره‌ای واقعی معمولاً انجام می‌شود. این ساده‌سازی‌ها عبارتند از:

۱. جرم جسم سوم (ماهواره) در مقایسه با اجسام اصلی ناچیز است.

۲. اجسام اصلی و ثانویه در مدارهای دایره‌ای حول مرکز جرم که بین دو جسم قرار دارد حرکت می‌کنند.

مسئله به دست آمده معمولاً به نام مسئله سه جسمی محدود دایره‌ای (CRTBP) شناخته می‌شود. گاهی اوقات، فرض دیگری نیاز به حرکت فقط در صفحه مداری اجسام اصلی و ثانویه دارد. برای این مسئله سه جسمی محدود دایره‌ای در صفحه، مؤلفه  $Z$  معادلات صفر می‌شود. پیدا کردن معادلات ساده برای بیان راه‌حل‌ها در مسئله سه جسمی دشوار است. کتاب‌های کامل در این زمینه وجود دارد (Szebehely, ۱۹۶۷). هدف ما در اینجا توصیف حرکات کیفی و برجسته کردن چندین راه‌حل کلاسیکی است که شناخته شده هستند.

ابتدا، بیایید از یک چارچوب مختصات همزمان برای مسئله سه جسمی استفاده کنیم، همانطور که در شکل ۱۲-۱۳ نشان داده شده است.\* معادلاتی برای یک چارچوب باریک‌ناح (ثابت) به زودی معرفی خواهیم کرد. این چارچوب از نمادهای کوچک  $x$ ،  $y$  و  $z$  برای اجزای فردی استفاده می‌کند. زیرنویس  $S$  با محورهای نشان می‌دهد که مبدأ در مرکز جرم (مرکز سیستم) است و چارچوب با سرعت زاویه‌ای  $qS$  می‌چرخد.



شکل ۱-۵: هندسه مسئله سه بدنه محدود

## ۲-۵ معادلات حرکت در مسئله سه جسمی محدود دایره‌ای

برای بیان معادلات حرکت از یک دستگاه مختصات چرخان با سرعت زاویه‌ای ثابت  $\omega$  حول مرکز جرم سیستم استفاده شده است. فرض شده است که دو جسم اصلی با جرم‌های  $m_1$  و  $m_2$  در صفحه  $xy$  حول مرکز جرم مشترک در مدارهای دایره‌ای حرکت می‌کنند. جسم سوم که دارای جرم ناچیزی است در میدان گرانشی این دو جسم در نظر گرفته شده است.

مختصات بی‌بعد شده (normalized) در دستگاه چرخان با  $(x, y, z)$  نشان داده شده است. معادلات دیفرانسیل حرکت به صورت زیر بیان شده‌اند:

$$\ddot{x} - 2\dot{y} = \frac{\partial U}{\partial x}, \quad (۱-۵)$$

$$\ddot{y} + 2\dot{x} = \frac{\partial U}{\partial y}, \quad (۲-۵)$$

$$\ddot{z} = \frac{\partial U}{\partial z}, \quad (۳-۵)$$

که در اینجا  $U$  تابع پتانسیل شبه‌گرانشی (effective gravitational potential) است و به شکل زیر تعریف شده است:

$$U(x, y, z) = \frac{1}{2}(x^2 + y^2) + \frac{1-\mu}{r_1} + \frac{\mu}{r_2}, \quad (۴-۵)$$

که در آن:

$$r_1 = \sqrt{(x + \mu)^2 + y^2 + z^2}, \quad (۵-۵)$$

$$r_2 = \sqrt{(x - 1 + \mu)^2 + y^2 + z^2}, \quad (۶-۵)$$

و پارامتر بی‌بعد  $\mu$  به صورت نسبت جرمی تعریف شده است:

$$\mu = \frac{m_2}{m_1 + m_2}, \quad (۷-۵)$$

مقادیر نمونه از پارامترهای مسئله (سیستم زمین-ماه) در جدول زیر آورده شده‌اند:  
جدول ۵-۱: مقادیر عددی برای مسئله سه‌جسمی محدود (سیستم زمین-ماه)

پارامتر	توصیف	مقدار عددی
$m_1$	جرم زمین	$5.972 \times 10^{24} \text{ kg}$
$m_2$	جرم ماه	$7.348 \times 10^{22} \text{ kg}$
$\mu$	نسبت جرمی	0.0121505856
$\omega$	سرعت زاویه‌ای سیستم	$2.6617 \times 10^{-6} \text{ rad/s}$

در معادلات ارائه‌شده:

$(x, y, z)$  - مختصات بدون بعد در دستگاه مختصات چرخان هستند. - نقطه (.) مشتق نسبت به زمان بدون بعد  $t$  را نشان می‌دهد. - مقادیر عددی جدول (۵-۲) برای سیستم زمین-ماه معمولاً در شبیه‌سازی‌های مأموریت‌های فضایی استفاده می‌شوند.

### ۳-۵ معادلات حرکت در مسئله سه‌جسمی محدود دایره‌ای

برای بیان معادلات حرکت از یک دستگاه مختصات چرخان با سرعت زاویه‌ای ثابت  $\omega$  حول مرکز جرم سیستم استفاده شده است. فرض شده است که دو جسم اصلی با جرم‌های  $m_1$  و  $m_2$  در صفحه  $xy$  حول مرکز جرم مشترک در مدارهای دایره‌ای حرکت می‌کنند. جسم سوم که دارای جرم ناچیزی است در میدان گرانشی این دو جسم در نظر گرفته شده است. مطابق هندسه نشان داده شده در شکل، مختصات به صورت برداری و به صورت زیر تعریف می‌شوند:

$$\mathbf{r}_1 = \mathbf{r} + \mu \hat{\mathbf{x}}, \quad \mathbf{r}_2 = \mathbf{r} - (1 - \mu) \hat{\mathbf{x}} \quad (۸-۵)$$

معادلات حرکت جسم سوم (ماهواره) با توجه به این تعاریف به شکل برداری زیر هستند:

$$\ddot{\mathbf{r}} + 2\boldsymbol{\omega} \times \dot{\mathbf{r}} + \boldsymbol{\omega} \times (\boldsymbol{\omega} \times \mathbf{r}) = -\frac{(1-\mu)(\mathbf{r} + \mu\hat{\mathbf{x}})}{r_1^3} - \frac{\mu(\mathbf{r} - (1-\mu)\hat{\mathbf{x}})}{r_2^3} \quad (9-5)$$

که در آن:

$$r_1 = |\mathbf{r}_1| = \sqrt{(x+\mu)^2 + y^2 + z^2}, \quad (10-5)$$

$$r_2 = |\mathbf{r}_2| = \sqrt{(x-1+\mu)^2 + y^2 + z^2}, \quad (11-5)$$

و بردار  $\boldsymbol{\omega}$  سرعت زاویه‌ای است که در راستای محور  $z$  بوده و برابر است با:

$$\boldsymbol{\omega} = \omega \hat{\mathbf{z}} \quad (12-5)$$

مقادیر نمونه از پارامترهای مسئله (سیستم زمین-ماه) در جدول زیر آورده شده‌اند:  
جدول ۵-۲: مقادیر عددی برای مسئله سه‌جسمی محدود (سیستم زمین-ماه)

پارامتر	توصیف	مقدار عددی
$m_1$	جرم زمین	$5.972 \times 10^{24} \text{ kg}$
$m_2$	جرم ماه	$7.348 \times 10^{22} \text{ kg}$
$\mu$	نسبت جرمی	0.0121505856
$\omega$	سرعت زاویه‌ای سیستم	$2.6617 \times 10^{-6} \text{ rad/s}$

در معادلات ارائه‌شده:

-  $(x, y, z)$  مختصات بدون بعد در دستگاه مختصات چرخان هستند. - نقطه (.) مشتق نسبت به زمان بدون بعد  $t$  را نشان می‌دهد. - مقادیر عددی جدول (۵-۲) برای سیستم زمین-ماه معمولاً در شبیه‌سازی‌های مأموریت‌های فضایی استفاده می‌شوند.

حتماً. روند کامل استخراج معادلات حرکت از پایه در مسئله سه‌جسمی محدود دایره‌ای را شروع می‌کنم؛ از قانون دوم نیوتن در دستگاه لخت آغاز می‌کنم، سپس به دستگاه چرخان منتقل می‌شوم، پتانسیل مؤثر را تعریف می‌کنم و در نهایت به معادلات CRTBP می‌رسم، با تمرکز بر تحلیل سه‌بعدی.



به زودی نسخه کامل گام به گام لاتک این بخش را برایت آماده می‌کنم.

## ۴-۵ استخراج گام به گام معادلات حرکت در مسئله سه جرمی محدود دایره‌ای (CRTBP)

در **\*\*مسئله سه جرمی محدود دایره‌ای\*\*** فرض بر این است که دو جرم اصلی (با جرم‌های  $m_1$  و  $m_2$ ) در مداری دایره‌ای حول مرکز ثقل مشترک خود می‌گردند و جرم سوم  $m_3$  بسیار کوچک و قابل صرف نظر (سیاره‌نما) است. این جرم سوم تأثیری بر حرکت دو جرم اصلی ندارد و تنها تحت تأثیر گرانش آن‌ها حرکت می‌کند. در ادامه گام به گام معادلات حرکت جرم سوم را ابتدا در **\*\*دستگاه لخت (اینرسی)\*\*** و سپس در **\*\*چارچوب چرخان\*\*** (هم‌گردان با دو جرم اصلی) استخراج می‌کنیم. نیروهای ظاهری کوریولیس و گریز از مرکز را وارد کرده و **\*\*پتانسیل مؤثر\*\*** سیستم را معرفی می‌کنیم. در پایان، معادلات نهایی حرکت در مختصات  $x, y, z$  (برای حالت سه بعدی) ارائه می‌گردد. تمامی فرمول‌ها به صورت ریاضی (LaTeX) نمایش داده شده و توضیحات هر مرحله به صورت کامل آمده است.

### ۱-۴-۵ معادلات حرکت در دستگاه لخت برای جرم سوم

طبق **\*\*قانون دوم نیوتن\*\***، مجموع نیروهای وارد بر جرم سوم برابر با حاصل ضرب جرم آن در شتاب (مشتق دوم مکان) است. تنها نیروهای وارد بر  $m_3$ ، نیروهای گرانشی ناشی از  $m_1$  و  $m_2$  هستند. اگر بردارهای مکان اجسام را در دستگاه لخت با  $\mathbf{r}_1(t)$ ،  $\mathbf{r}_2(t)$  و  $\mathbf{r}_3(t)$  نشان دهیم (با مبدأ در مرکز ثقل سیستم)، نیروی گرانشی وارد بر  $m_3$  از سوی  $m_1$  برابر است با:

$$\mathbf{F}_{13} = -G \frac{m_1 m_3}{|\mathbf{r}_3 - \mathbf{r}_1|^3} (\mathbf{r}_3 - \mathbf{r}_1),$$

$$\mathbf{F}_{13} = -G \frac{m_1 m_3}{|\mathbf{r}_3 - \mathbf{r}_1|^3} (\mathbf{r}_3 - \mathbf{r}_1) \quad (13-5)$$

و نیروی گرانشی از سوی  $m_2$  برابر است با:

$$\mathbf{F}_{23} = -G \frac{m_2 m_3}{|\mathbf{r}_3 - \mathbf{r}_2|^3} (\mathbf{r}_3 - \mathbf{r}_2).$$

$$\mathbf{F}_{23} = -G \frac{m_2 m_3}{|\mathbf{r}_3 - \mathbf{r}_2|^3} (\mathbf{r}_3 - \mathbf{r}_2) \quad (14-5)$$

با جمع این دو نیرو و اعمال قانون دوم نیوتن ( $\sum \mathbf{F} = m_3 \mathbf{a}_3 = \ddot{\mathbf{r}}_3$ )، معادله برداری حرکت جرم سوم در دستگاه لخت به دست می آید:

$$m_3 \ddot{\mathbf{r}}_3 = -G \frac{m_1 m_3}{|\mathbf{r}_3 - \mathbf{r}_1|^3} (\mathbf{r}_3 - \mathbf{r}_1) - G \frac{m_2 m_3}{|\mathbf{r}_3 - \mathbf{r}_2|^3} (\mathbf{r}_3 - \mathbf{r}_2).$$

$$m_3 \ddot{\mathbf{r}}_3 = -G \frac{m_1 m_3}{|\mathbf{r}_3 - \mathbf{r}_1|^3} (\mathbf{r}_3 - \mathbf{r}_1) - G \frac{m_2 m_3}{|\mathbf{r}_3 - \mathbf{r}_2|^3} (\mathbf{r}_3 - \mathbf{r}_2) \quad (۱۵-۵)$$

با حذف  $m_3$  (که نامعتبر نیست و صرفاً کوچک در نظر گرفته شده)، شتاب  $\ddot{\mathbf{r}}_3$  جرم سوم در دستگاه لخت عبارت است از:

$$\ddot{\mathbf{r}}_3 = -Gm_1 \frac{\mathbf{r}_3 - \mathbf{r}_1}{|\mathbf{r}_3 - \mathbf{r}_1|^3} - Gm_2 \frac{\mathbf{r}_3 - \mathbf{r}_2}{|\mathbf{r}_3 - \mathbf{r}_2|^3}.$$

این معادله نشان می دهد که شتاب جرم سوم برابر مجموع برداری شتاب های گرانشی ناشی از دو جرم اصلی است. این هنوز در \*\*چارچوب اینرسی\*\* (ثابت) بیان شده است، جایی که  $\mathbf{r}_1(t)$  و  $\mathbf{r}_2(t)$  متغیر زمان هستند. برای سادگی، فرض می کنیم مدار دایره ای دو جرم اصلی در صفحه  $x-y$  قرار دارد و مرکز مختصات در مرکز ثقل است. در این صورت دو جرم اصلی با سرعت زاویه ای ثابت  $\omega$  به دور مرکز ثقل می گردند (مقدار  $\omega$  توسط قانون گرانش نیوتن و فاصله بین دو جرم تعیین می شود). اکنون به چارچوبی می رویم که همراه با دو جرم اصلی می چرخد تا معادلات حرکت در آن چارچوب ساده تر بیان شوند.

## ۵-۴-۲ انتقال به چارچوب چرخان (هم گردان با دو جرم اصلی)

در \*\*دستگاه هم گردان\*\* که با سرعت زاویه ای ثابت  $\omega$  حول محور  $z$  (عمود بر صفحه مدار) می چرخد، موقعیت دو جرم اصلی ثابت می ماند. می توان محوره های مختصات را طوری اختیار کرد که در چارچوب چرخان،  $m_1$  و  $m_2$  روی محور  $x$  در نقاط ثابتی قرار گیرند (برای مثال  $m_1$  در مختصات  $(x_1, 0, 0)$  و  $m_2$  در  $(x_2, 0, 0)$  با  $x_1 < 0 < x_2$ ). به این ترتیب، بردارهای مکان  $\mathbf{r}_1$  و  $\mathbf{r}_2$  در چارچوب چرخان ثابت اند (مختصات ثابت در زمان)، و حرکت جرم سوم نسبت به این دو جرم اصلی بهتر قابل تحلیل است.

اما هنگام گذار به چارچوب چرخان، باید اثر \*\*نیروهای ظاهری\*\* را در نظر بگیریم. به طور خاص: - \*\*نیروی کوریولیس\*\*: ناشی از حرکت جرم در چارچوب چرخان است و مقدار آن برای جرم  $m_3$  برابر  $\mathbf{F}_{\text{cor}} = -2m_3(\boldsymbol{\omega} \times \dot{\mathbf{r}}_3)$  می باشد. جهت این نیرو عمود بر سرعت نسبی جرم سوم نسبت به چارچوب چرخان

(عمود بر  $\dot{\mathbf{r}}_3$ ) و محور چرخش است و باعث انحراف مسیر می‌شود (در جهت خلاف چرخش). - \*\*نیروی گریز از مرکز: \*\* ناشی از چرخش چارچوب بوده و به سمت بیرون (دور شدن از محور چرخش) وارد می‌شود. مقدار آن  $\mathbf{F}_{\text{cent}} = -m_3 [\boldsymbol{\omega} \times (\boldsymbol{\omega} \times \mathbf{r}_3)]$  است. این نیرو در جهت افزایش شعاع گردش (بردار مکان  $\mathbf{r}_3$  در صفحه‌ی چرخش) عمل می‌کند و تمایل دارد جرم را از مرکز دوران دور کند.

با افزودن این نیروهای مجازی به معادله حرکت، می‌توان قوانین نیوتن را در چارچوب غیرلخت (چرخان) اعمال کرد. بدین ترتیب، در \*\*چارچوب چرخان\*\* معادله حرکت جرم سوم بصورت زیر درمی‌آید:

$$m_3 \ddot{\mathbf{r}}_{3,\text{rot}} = \mathbf{F}_{13} + \mathbf{F}_{23} + \mathbf{F}_{\text{cor}} + \mathbf{F}_{\text{cent}}.$$

در این رابطه  $\ddot{\mathbf{r}}_{3,\text{rot}}$  شتاب دوم جرم سوم نسبت به دستگاه چرخان است. با جانشانی نیروهای گرانشی و ظاهری در سمت راست و حذف  $m_3$ ، معادله حرکت \*\*برداری\*\* در دستگاه چرخان به صورت زیر نوشته می‌شود:

$$\ddot{\mathbf{r}}_{3,\text{rot}} = -Gm_1 \frac{\mathbf{r}_3 - \mathbf{r}_1}{|\mathbf{r}_3 - \mathbf{r}_1|^3} - Gm_2 \frac{\mathbf{r}_3 - \mathbf{r}_2}{|\mathbf{r}_3 - \mathbf{r}_2|^3} - 2(\boldsymbol{\omega} \times \dot{\mathbf{r}}_{3,\text{rot}}) - [\boldsymbol{\omega} \times (\boldsymbol{\omega} \times \mathbf{r}_3)].$$

در این معادله، عبارت‌های سمت راست به‌ترتیب نشان‌دهنده شتاب‌های گرانشی (دو جمله‌ی اول)، شتاب کوریولیس (جمله‌ی سوم) و شتاب گریز از مرکز (جمله‌ی چهارم) هستند. این فرمول‌بندی برداری، مبنایی برای نوشتن معادلات حرکت در مؤلفه‌های دکارتی  $x, y, z$  است.

### ۳-۴-۵ نوشتن معادلات حرکت در مؤلفه‌های $x, y, z$ (چارچوب چرخان)

برای واضح‌تر شدن معادلات، مؤلفه‌های بردار معادله فوق را در راستای محورها  $x, y, z$  می‌نویسیم. فرض می‌کنیم محور  $z$  در جهت بردار چرخش  $\boldsymbol{\omega}$  (عمود بر صفحه مدار) است و در نتیجه  $\boldsymbol{\omega} = \omega \hat{k}$  (با  $\hat{k}$  بردار واحد محور  $z$ ). همچنین سرعت زاویه‌ای ثابت  $\omega$  است.

- \*\*مؤلفه  $x$ : \*\* با توجه به  $\boldsymbol{\omega} \times \dot{\mathbf{r}} = \omega \hat{k} \times (\dot{x}\hat{i} + \dot{y}\hat{j} + \dot{z}\hat{k}) = \omega(\dot{x}\hat{k} \times \hat{i} + \dot{y}\hat{k} \times \hat{j}) = \omega(\dot{x}\hat{j} - \dot{y}\hat{i})$  داریم  $[-2(\boldsymbol{\omega} \times \dot{\mathbf{r}}_3)]_x = 2\omega\dot{y}$ . همچنین  $[\boldsymbol{\omega} \times (\boldsymbol{\omega} \times \mathbf{r}_3)]_x = \omega^2 x$  (چون نیروی گریز از مرکز در راستای مثبت  $x$  است اگر جرم در  $x > 0$  باشد). بنابراین مؤلفه  $x$  معادله حرکت:

$$\ddot{x} = -Gm_1 \frac{x - x_1}{r_1^3} - Gm_2 \frac{x - x_2}{r_2^3} + 2\omega\dot{y} + \omega^2 x,$$

که در آن برای اختصار  $r_2 = |\mathbf{r}_3 - \mathbf{r}_2|$  و  $r_1 = |\mathbf{r}_3 - \mathbf{r}_1| = \sqrt{(x - x_1)^2 + (y - y_1)^2 + (z - z_1)^2}$  است. توجه شود  $x_1, y_1, z_1$  مختصات ثابت جرم  $m_1$  و  $x_2, y_2, z_2$  مختصات ثابت  $m_2$  در چارچوب چرخان هستند (برای نمونه  $y_1 = y_2 = 0$  و  $z_1 = z_2 = 0$  اگر صفحه‌ی مدار  $x$ - $y$  باشد).

- \*\*مولفه  $y$ :\*\* به طریق مشابه، برای راستای  $y$  خواهیم داشت  $[-2(\boldsymbol{\omega} \times \dot{\mathbf{r}}_3)]_y = -2\omega \dot{x}$  و  $[\boldsymbol{\omega} \times (\boldsymbol{\omega} \times \mathbf{r}_3)]_y = \omega^2 y$  بنابراین:

$$\ddot{y} = -Gm_1 \frac{y - y_1}{r_1^3} - Gm_2 \frac{y - y_2}{r_2^3} - 2\omega \dot{x} + \omega^2 y.$$

- \*\*مولفه  $z$ :\*\* محور  $z$  همان محور چرخش است، لذا هیچ نیروی کوریولیس یا گریز از مرکز در راستای  $z$  وجود ندارد (چون  $\boldsymbol{\omega}$  موازی  $z$  است،  $\boldsymbol{\omega} \times \dot{\mathbf{r}}_3$  در صفحه‌ی  $x$ - $y$  است و  $\boldsymbol{\omega} \times (\boldsymbol{\omega} \times \mathbf{r}_3)$  نیز در صفحه  $x$ - $y$  قرار دارد). از این رو فقط نیروهای گرانشی در راستای  $z$  مؤثرند:

$$\ddot{z} = -Gm_1 \frac{z - z_1}{r_1^3} - Gm_2 \frac{z - z_2}{r_2^3}.$$

اکنون معادلات حرکت در دستگاه چرخان به صورت مؤلفه‌ای مشخص شده‌اند. با توجه به فرض صفحه‌ای بودن مدار  $m_1$  و  $m_2$ ، معمولاً  $y_1 = y_2 = 0$  و  $z_1 = z_2 = 0$  فرض می‌شود. همچنین اگر مرکز ثقل را مبدأ مختصات بگیریم و فاصله دو جرم اصلی را  $a$  فرض کنیم، آنگاه  $x_1 = -\frac{m_2}{m_1 + m_2}a$  و  $x_2 = +\frac{m_1}{m_1 + m_2}a$  خواهد بود (البته در نگارش معادلات نیاز نیست جایگذاری عددی انجام شود).

با نگاه به معادلات مؤلفه‌ای بالا، مشاهده می‌شود که حضور ترم‌های  $\omega^2 x$  و  $\omega^2 y$  (ناشی از نیروی گریز از مرکز) در سمت راست، به همراه ترم‌های کوریولیس ( $2\omega \dot{y}$  و  $-2\omega \dot{x}$ )، فرم معادلات را از حالت صرفاً گرانشی (دستگاه لخت) متمایز می‌کند. در بخش بعد، برای ساده‌سازی بیان این معادلات، \*\*پتانسیل مؤثر\*\* را معرفی می‌کنیم تا نیروهای گرانشی و گریز از مرکز را تحت یک تابع پتانسیل واحد در نظر بگیریم.

## ۴-۴-۵ پتانسیل مؤثر و مشتقات آن

نیروهای گرانشی ناشی از  $m_1$  و  $m_2$  \*\*نیروهای محافظه‌کار\*\* هستند، یعنی می‌توان آن‌ها را به صورت گرادیان یک تابع پتانسیل نوشت. همچنین نیروی گریز از مرکز (با داشتن  $\omega$  ثابت) خود از یک پتانسیل اسکالر ناشی می‌شود. بنابراین می‌توان ترکیب اثر گرانش و گریز از مرکز را با تعریف \*\*پتانسیل مؤثر\*\* (Efficient Potential) انجام داد. پتانسیل مؤثر را به صورت پتانسیل بر واحد جرم  $m_3$  تعریف می‌کنیم:

$$U_{\text{eff}}(x, y, z) = -\frac{Gm_1}{r_1} - \frac{Gm_2}{r_2} - \frac{1}{2}\omega^2(x^2 + y^2).$$

در این تعریف: قسمت‌های اول و دوم  $-\frac{Gm_1}{r_1} - \frac{Gm_2}{r_2}$  پتانسیل گرانشی (منفی) ناشی از دو جرم اصلی هستند و قسمت آخر  $-\frac{1}{2}\omega^2(x^2 + y^2)$  پتانسیل مربوط به نیروی گریز از مرکز است (علامت منفی انتخاب شده تا گرادیان آن نیروی \*\*مثبت\*\* به سمت خارج بدهد). توجه کنیم که  $r_1 = \sqrt{(x - x_1)^2 + (y - y_1)^2 + (z - z_1)^2}$  و  $r_2 = \sqrt{(x - x_2)^2 + (y - y_2)^2 + (z - z_2)^2}$  هستند.

حالا مشتقات پتانسیل مؤثر را نسبت به هر یک از مختصات به دست می‌آوریم (گرادیان  $U_{\text{eff}}$ ):

- مشتق نسبت به  $x$ :

$$\frac{\partial U_{\text{eff}}}{\partial x} = -Gm_1 \frac{\partial}{\partial x} \left( \frac{1}{r_1} \right) - Gm_2 \frac{\partial}{\partial x} \left( \frac{1}{r_2} \right) - \frac{1}{2}\omega^2 \frac{\partial}{\partial x} (x^2 + y^2).$$

با محاسبه مشتقات:  $\frac{\partial}{\partial x}(x^2 + y^2) = 2x$ , و  $\frac{\partial}{\partial x}(1/r_1) = -\frac{x - x_1}{r_1^3}$  خواهیم داشت:

$$\frac{\partial U_{\text{eff}}}{\partial x} = +Gm_1 \frac{x - x_1}{r_1^3} + Gm_2 \frac{x - x_2}{r_2^3} - \omega^2 x.$$

- مشتق نسبت به  $y$ :

به صورت مشابه،  $\frac{\partial}{\partial y}(1/r_1) = -\frac{y - y_1}{r_1^3}$  و  $\frac{\partial}{\partial y}(x^2 + y^2) = 2y$  بنابراین:

$$\frac{\partial U_{\text{eff}}}{\partial y} = +Gm_1 \frac{y - y_1}{r_1^3} + Gm_2 \frac{y - y_2}{r_2^3} - \omega^2 y.$$

- مشتق نسبت به  $z$ :

در اینجا  $\frac{\partial}{\partial z}(1/r_1) = -\frac{z - z_1}{r_1^3}$  و  $\frac{\partial}{\partial z}(x^2 + y^2) = 0$  (زیرا  $x^2 + y^2$  مستقل از  $z$  است). پس:

$$\frac{\partial U_{\text{eff}}}{\partial z} = +Gm_1 \frac{z - z_1}{r_1^3} + Gm_2 \frac{z - z_2}{r_2^3}.$$

مشتقات فوق را می‌توان مستقیماً در معادلات حرکت بدست‌آمده در بخش قبل مشاهده کرد. در واقع، اگر به معادلات مؤلفه‌ای دستگاه چرخان نگاه کنیم، طرف راست آن‌ها دقیقاً منطبق بر  $\partial U_{\text{eff}}/\partial x$ ،  $\partial U_{\text{eff}}/\partial y$  و  $\partial U_{\text{eff}}/\partial z$  است. این اتفاق تصادفی نیست؛ ما \*\*پتانسیل مؤثر\*\* را عمداً طوری تعریف کردیم که این تطابق حاصل شود.

با داشتن  $U_{\text{eff}}$ ، نیروهای گرانشی و گریز از مرکز را می‌توان به صورت  $\mathbf{F}_g + \mathbf{F}_{\text{cent}} = -\nabla U_{\text{eff}}$  نوشت، در نتیجه معادلات حرکت را می‌توان به شکل جمع و جورتری بیان کرد.

#### ۵-۴-۵ معادلات نهایی حرکت در مختصات $x, y, z$

حال همه اجزای مورد نیاز را در اختیار داریم تا  $**$ معادلات نهایی حرکت جرم سوم در  $CRTBP**$  را بنویسیم. با استفاده از نتایج بخش قبل، معادلات حرکت در دستگاه چرخان (مختصات غیرلخت هم‌گردان) را می‌توان به صورت زیر خلاصه کرد:

- برای محور  $x$ :

$$\ddot{x} - 2\omega \dot{y} = \frac{\partial U_{\text{eff}}}{\partial x} = Gm_1 \frac{x - x_1}{r_1^3} + Gm_2 \frac{x - x_2}{r_2^3} - \omega^2 x,$$

- برای محور  $y$ :

$$\ddot{y} + 2\omega \dot{x} = \frac{\partial U_{\text{eff}}}{\partial y} = Gm_1 \frac{y - y_1}{r_1^3} + Gm_2 \frac{y - y_2}{r_2^3} - \omega^2 y,$$

- برای محور  $z$ :

$$\ddot{z} = \frac{\partial U_{\text{eff}}}{\partial z} = Gm_1 \frac{z - z_1}{r_1^3} + Gm_2 \frac{z - z_2}{r_2^3}.$$

این‌ها  $**$ معادلات دیفرانسیل غیرخطی مرتبه دوم  $**$  هستند که حرکت جرم سوم (با جرم ناچیز) را در میدان گرانشی دو جرم پرجرم (با مدار دایره‌ای) توصیف می‌کنند. ترم‌های کوریولیس  $(\pm 2\omega \dot{x}, \pm 2\omega \dot{y})$  نشان‌دهنده اثر چرخش چارچوب مختصات است و نبود این ترم‌ها معادلات را به حالت دستگاه لخت (دو جسمی) برمی‌گرداند. همچنین ترم‌های  $-\omega^2 x$  و  $-\omega^2 y$  از نیروی گریز از مرکز ناشی شده‌اند و در مقابل با نیروی مرکزی گرانش عمل می‌کنند.

لازم به ذکر است که در حالت خاص حرکت  $**$ صفحه‌ای  $**$  (دوبعدی) که حرکت جرم سوم به صفحه‌ی مدار  $m_1, m_2$  محدود می‌شود، مؤلفه  $z$  و مشتقاتش صفر بوده و معادله  $z$  بی‌اثر است. اما در این‌جا ما حالت سه‌بعدی عمومی را در نظر گرفتیم تا امکان خروج جرم سوم از صفحه (نوسان در جهت  $z$ ) نیز وجود داشته باشد. نقاط تعادل معروف لاگرانژی  $L_1$  تا  $L_5$  را می‌توان با قرار دادن  $\ddot{x} = \ddot{y} = \ddot{z} = 0$  (و سرعت‌های صفر) و حل معادلات فوق به دست آورد که خود نشان‌دهنده اهمیت این معادلات در مکانیک سماوی است.

در نهایت، مسیر طی شده در این اشتقاق، معادلات حرکت CRTBP را به صورت **\*\*کاملاً تحلیلی\*\*** و مرحله به مرحله به دست داد. این معادلات پایه ای برای تحلیل مدارهای پیچیده تر در مسئله سه جسمی محدود هستند و به طور گسترده در دینامیک مدار ماهواره ها، پیش بینی حرکت اجرام کوچک در منظومه شمسی و بررسی پایداری مداری به کار می روند.

حتماً. معادلات کامل لاگرانژ برای سیستم سه جسمی محدود دایره ای را به صورت دقیق در قالب لاتک آماده می کنم و توضیح می دهم که این معادلات از کجا به دست می آیند، چگونه با استفاده از آن ها نقاط تعادل استخراج می شوند، و در نهایت یک جدول شامل مختصات عددی نقاط لاگرانژی  $(L_1)$  تا  $(L_5)$  برای سامانه زمین-ماه ارائه می دهم.

## ۵-۵

معادلات لاگرانژ در مسأله ی سه جسمی محدود دایره ای

## ۶-۵

تعریف مسئله و چارچوب مرجع چرخان در **\*\*مسئله ی سه جسمی محدود دایره ای\*\*** (CRTBP) دو جرم بزرگ (مثلاً زمین و ماه) در حال گردش دایره ای حول مرکز جرم مشترک هستند و جرم سوم که بسیار کوچک و تقریباً بی اثر است، تحت تاثیر گرانش آن دو حرکت می کند. فرض می شود جرم سوم آن قدر کوچک است که تاثیری بر حرکت دو جرم اصلی ندارد. برای تحلیل این مسئله، یک دستگاه مختصات چرخان **\*\*هم دوران\*\*** با دو جرم اصلی انتخاب می کنیم به طوری که مرکز مختصات در مرکز جرم سیستم باشد و محور  $x$  خط واصل دو جرم و محور  $y$  عمود بر آن در صفحه ی حرکت باشد (صفحه ی مداری دو جرم اصلی). سرعت زاویه ای چرخش این دستگاه برابر سرعت مداری دو جرم اصلی (فرضاً  $\omega = 1$  در دستگاه بی بعد) در نظر گرفته می شود. واحد طول برابر با فاصله ی بین دو جرم اصلی و واحد زمان چنان انتخاب می شود که دوره ی مداری دو جرم اصلی  $2\pi$  (و در نتیجه  $\omega = 1$ ) شود. همچنین مجموع جرم های دو جرم اصلی برابر ۱ در نظر گرفته می شود. بر این اساس اگر  $\mu$  نسبت جرمی جرم دوم (کوچک تر) باشد ( $\mu = \frac{m_2}{m_1+m_2}$ )، آنگاه جرم اول  $m_1 = 1 - \mu$  و جرم دوم  $m_2 = \mu$  خواهد بود. در مبدأ مختصات چرخان (مرکز جرم) موقعیت جرم اول روی محور  $x$  برابر  $(-\mu, 0)$  و جرم دوم برابر  $(1 - \mu, 0)$  می شود.

در این چارچوب مرجع چرخان، جرم سوم یک **\*\*لاگرانژی\*\*** (تابع لاگرانژ) دارد که شامل انرژی جنبشی آن و پتانسیل گرانشی دو جرم اصلی به همراه پتانسیل موثر مرکزگرا (ناشی از چارچوب غیرلخت) است. با

نرمال سازی ثابت گرانش به  $G = 1$ ، می توان **\*\*لاگرانژی\*\*** سیستم را به صورت زیر نوشت:

$$L = T - V = \frac{1}{2}(\dot{x}^2 + \dot{y}^2 + \dot{z}^2) - \left[ -\frac{1-\mu}{r_1} - \frac{\mu}{r_2} - \frac{1}{2}(x^2 + y^2) \right],$$

که در آن  $T$  انرژی جنبشی ذره ی کوچک و  $V$  پتانسیل آن است. عبارت داخل کروشه در واقع پتانسیل گرانشی دو جرم اصلی به همراه پتانسیل گریز از مرکز (با علامت منفی) است: به ترتیب  $-\frac{1-\mu}{r_1}$  و  $-\frac{\mu}{r_2}$  پتانسیل گرانشی جرم های اول و دوم در نقطه ی  $(x, y, z)$  ذره ی کوچک (با فواصل  $r_1$  و  $r_2$  تا آن دو جرم)، و  $-\frac{1}{2}(x^2 + y^2)$  پتانسیل سانتریفیوژ معادل در دستگاه چرخان است. بنابراین تابع لاگرانژ را می توان به صورت جمع انرژی جنبشی و «پتانسیل موثر» زیر نوشت:

$$L = \frac{1}{2}(\dot{x}^2 + \dot{y}^2 + \dot{z}^2) + (1-\mu)\frac{1}{r_1} + \mu\frac{1}{r_2} + \frac{1}{2}(x^2 + y^2),$$

که در آن  $r_1 = \sqrt{(x+\mu)^2 + y^2 + z^2}$  فاصله ی جرم سوم از جرم اول و  $r_2 = \sqrt{(x-1+\mu)^2 + y^2 + z^2}$  فاصله از جرم دوم است. اکنون با به کارگیری اصل کمینه کردن کنش ( $\delta S = 0$ ) و نوشتن معادلات اوایلر-لاگرانژ برای مختصات  $x, y, z$ ، معادلات حرکت در این دستگاه به دست می آیند. شرط اوایلر-لاگرانژ برای هر مختصه (مثلاً  $x$ ) به شکل  $\frac{d}{dt}\frac{\partial L}{\partial \dot{x}} - \frac{\partial L}{\partial x} = 0$  نوشته می شود. مشتقات لازم را محاسبه می کنیم:

$$\frac{\partial L}{\partial x} = (1-\mu)\frac{\partial}{\partial x}\frac{1}{r_1} + \mu\frac{\partial}{\partial x}\frac{1}{r_2} + \frac{\partial}{\partial x}\left(\frac{1}{2}x^2\right) - \frac{d}{dt}\frac{\partial L}{\partial \dot{x}} = \ddot{x}, \text{ پس } \frac{\partial L}{\partial \dot{x}} = \dot{x} -$$

با توجه به  $r_1 = \sqrt{(x+\mu)^2 + y^2 + z^2}$  و  $r_2 = \sqrt{(x-1+\mu)^2 + y^2 + z^2}$ ، مشتق های جزئی پتانسیل ها عبارتند از:

$$\frac{\partial}{\partial x}\frac{1}{r_1} = -\frac{x+\mu}{r_1^3}, \quad \frac{\partial}{\partial x}\frac{1}{r_2} = -\frac{x-(1-\mu)}{r_2^3}, \quad \frac{\partial}{\partial x}\left(\frac{1}{2}x^2\right) = x.$$

بنابراین:

$$\frac{\partial L}{\partial x} = -(1-\mu)\frac{x+\mu}{r_1^3} - \mu\frac{x-(1-\mu)}{r_2^3} + x.$$

با قرار دادن این در معادله ی اوایلر-لاگرانژ  $\ddot{x} - \frac{\partial L}{\partial x} = 0$ ، معادله ی  $x$  به دست می آید. به طور مشابه برای  $y$  و  $z$  نیز عمل می کنیم. بدین ترتیب، **\*\*معادلات لاگرانژ (معادلات حرکت)\*\*** در دستگاه چرخان برای ذره ی سوم به صورت زیر حاصل می شوند:



$$\begin{cases} \ddot{x} - 2\dot{y} = x - \frac{1-\mu}{r_1^3}(x+\mu) - \frac{\mu}{r_2^3}(x-(1-\mu)) , \\ \ddot{y} + 2\dot{x} = y - \frac{1-\mu}{r_1^3}y - \frac{\mu}{r_2^3}y , \\ \ddot{z} = -\frac{1-\mu}{r_1^3}z - \frac{\mu}{r_2^3}z , \end{cases}$$

که در آن  $r_1 = \sqrt{(x+\mu)^2 + y^2 + z^2}$  و  $r_2 = \sqrt{(x-(1-\mu))^2 + y^2 + z^2}$  همان گونه که تعریف شد. این معادلات لاگرانژ حاصل اصل کمینه سازی کنش هستند و معادلات کامل حرکت جرم سوم (با جرم ناچیز) را تحت گرانش دو جرم اولیه در حالت دایره ای بیان می کنند. توجه شود که وجود ترم های کورولیس ( $2\dot{y}$  در معادله  $x$  و  $2\dot{x}$  در معادله  $y$ ) نتیجه ی استفاده از دستگاه مرجع چرخان است. همچنین می توان این معادلات را به شکل برداری  $\ddot{\mathbf{r}} + 2\boldsymbol{\omega} \times \dot{\mathbf{r}} = \nabla \Omega(\mathbf{r})$  نیز بیان کرد که در آن  $\Omega(x, y, z) = \frac{1}{2}(x^2 + y^2) + \frac{1-\mu}{r_1} + \frac{\mu}{r_2}$  پتانسیل موثر در دستگاه چرخان است و گرادیان آن نیروهای موثر (گرانشی و گریز از مرکز) را نتیجه می دهد.

## ۷-۵

نقاط تعادل (نقاط لاگرانژ  $L_1$  تا  $L_5$ ) منظور از نقطه ی تعادل، حالتی است که جرم سوم (ذره ی آزمون) در دستگاه مرجع چرخان نسبت به دو جرم اصلی \*\*ساکن\*\* بماند. این شرایط زمانی رخ می دهد که سرعت و شتاب جرم سوم در دستگاه چرخان صفر شود. به عبارت دیگر در معادلات بالا باید  $\dot{x} = \dot{y} = \dot{z} = 0$  و  $\ddot{x} = \ddot{y} = \ddot{z} = 0$  قرار دهیم. با اعمال این شرط به معادلات لاگرانژ، مجموعه ای از معادلات جبری به دست می آید که مختصات نقاط تعادل (موسوم به \*\*نقاط لاگرانژ\*\*) را تعیین می کند. با قراردادن  $\dot{x} = \dot{y} = 0$  و  $\ddot{x} = \ddot{y} = 0$  در معادلات داریم:

$$\begin{cases} 0 = x - \frac{1-\mu}{r_1^3}(x+\mu) - \frac{\mu}{r_2^3}(x-(1-\mu)) , \\ 0 = y - \frac{1-\mu}{r_1^3}y - \frac{\mu}{r_2^3}y , \\ 0 = -\frac{1-\mu}{r_1^3}z - \frac{\mu}{r_2^3}z . \end{cases}$$

معادله ی سوم در بالا نشان می دهد یا باید  $z = 0$  باشد (نقاط تعادل همگی در صفحه ی حرکت هستند) یا عبارت داخل آن صفر شود که برای  $z \neq 0$  تنها در حالت خاصی مانند  $\mu = 0$  امکان پذیر است. بنابراین برای یافتن نقاط تعادل، حرکت جرم سوم را در همان صفحه ی مداری در نظر می گیریم ( $z = 0$ ). در این صورت

$r_1$  و  $r_2$  در صفحه به ترتیب  $\sqrt{(x+\mu)^2+y^2}$  و  $\sqrt{(x-(1-\mu))^2+y^2}$  خواهند بود. دو معادله‌ی اول را می‌توان به صورت ساده‌تری نوشت:

$$\begin{cases} x - \frac{1-\mu}{r_1^3}(x+\mu) - \frac{\mu}{r_2^3}(x-(1-\mu)) = 0, \\ y \left[ 1 - \frac{1-\mu}{r_1^3} - \frac{\mu}{r_2^3} \right] = 0. \end{cases}$$

از معادله‌ی دوم نتیجه می‌شود که یا  $y = 0$  (نقطه‌ی تعادل روی محور  $x$  واقع است) و یا پرانتز دوم صفر باشد (که منجر به رابطه‌ای بین فواصل می‌شود). بر این اساس، نقاط تعادل به دو دسته‌ی کلی تقسیم می‌شوند:

- **\*\*نقاط هم‌خط (Collinear)\*\***: این سه نقطه روی خط واصل دو جرم اصلی (محور  $x$ ) واقع شده و بنابراین  $y = 0$  دارند. این نقاط را به ترتیب  $L_1$ ،  $L_2$  و  $L_3$  می‌نامند.
- **\*\*نقاط سه‌گوش (Triangular)\*\***: این دو نقطه در صفحه به صورت رئوس مثلث متساوی‌الاضلاع با دو جرم اصلی قرار می‌گیرند و دارای  $y \neq 0$  هستند. این دو نقطه  $L_4$  و  $L_5$  نام دارند.

در ادامه، هر دسته را جداگانه بررسی می‌کنیم.

## ۵-۸

نقاط لاگرانژ هم‌خط ( $L_1$ ،  $L_2$ ،  $L_3$ ) برای نقاط واقع بر محور  $x$ ، شرط  $y = 0$  را در معادلات تعادل اعمال می‌کنیم. آنگاه معادله‌ی دوم به‌طور خودکار ارضا می‌شود (زیرا  $y = 0$  آن را صفر می‌کند) و تنها معادله‌ی اول باقی می‌ماند:

$$x - \frac{1-\mu}{|x+\mu|^3}(x+\mu) - \frac{\mu}{|x-(1-\mu)|^3}(x-(1-\mu)) = 0,$$

که در آن به علت قدرمطلق، بسته به ناحیه‌ی قرارگیری  $x$ ، علامت عبارت‌ها مشخص می‌شود. خوشبختانه می‌توان سه ناحیه‌ی متمایز را در نظر گرفت که متناظر با سه ریشه‌ی این معادله هستند:

- **\*\* $L_1$ \*\***: بین دو جرم اصلی واقع است. در این حالت  $x$  بین  $-\mu$  و  $1-\mu$  قرار دارد (بین موقعیت‌های جرم اول و جرم دوم). برای  $L_1$  فاصله‌ی آن از جرم دوم را با  $d_1$  نشان می‌دهیم (پس  $x = (1-\mu) - d_1$ ). این فاصله را می‌توان با حل معادله‌ی بالا به‌دست آورد. معادله‌ی تعادل در این ناحیه را می‌توان پس از ساده‌سازی به صورت یک معادله‌ی درجه پنجم (در  $x$  یا  $d_1$ ) نوشت که جواب تحلیلی ساده‌ای ندارد و معمولاً به روش عددی (مثلاً روش نیوتن) حل می‌شود. با این وجود، برای  $\mu$ های کوچک (مثلاً سیستمی مانند خورشید-زمین یا

زمین-ماه) می‌توان تخمین خوبی به‌دست آورد. اگر  $\mu \ll 1$  باشد (جرم دوم بسیار کوچک‌تر از جرم اول)، آنگاه  $L_1$  بسیار نزدیک به جرم دوم خواهد بود و فاصله‌ی آن از جرم دوم (در واحد فاصله‌ی دو جرم اصلی) تقریباً برابر  $**شعاع کره‌ی هیل**$  جرم دوم است. شعاع هیل تقریباً  $r_h \approx (\mu/3)^{1/3}$  است. بنابراین می‌توان نوشت:

$$d_1 \approx \left(\frac{\mu}{3}\right)^{1/3},$$

و در نتیجه مختصات  $L_1$  تقریباً برابر است با:

$$x_{L_1} \approx (1 - \mu) - (\mu/3)^{1/3}, \quad y_{L_1} = 0.$$

(توجه شود که برای دقت بیشتر، در صورت نیاز باید اثر  $\mu$  را در قسمت  $(1 - \mu)$  نیز لحاظ کرد.) این فرمول یک تخمین از موقعیت  $L_1$  است. در عمل حل عددی دقیق معادله، مقدار دقیق‌تری برای  $x_{L_1}$  به‌دست می‌دهد. این نقطه جایی است که نیروی گرانش دو جرم (یکی کشنده به چپ و دیگری به راست) و نیروی گریز از مرکز دقیقاً همدیگر را خنثی می‌کنند.

-  $**L_2**$ : بیرون جرم دوم (کوچک) و در امتداد همان محور قرار دارد. این نقطه در سمت راست جرم دوم واقع است ( $x > 1 - \mu$ ) و جرم دوم بین آن و جرم اول قرار می‌گیرد. اگر فاصله‌ی  $L_2$  از جرم دوم را  $d_2$  بگیریم ( $x = (1 - \mu) + d_2$ )، معادله‌ی تعادل در این ناحیه نیز پس از ساده‌سازی یک معادله‌ی درجه پنج برای  $d_2$  خواهد بود که باید عددی حل شود. برای  $\mu$  کوچک (جرم دوم خیلی کوچک‌تر)، این فاصله نیز تقریباً برابر  $(\mu/3)^{1/3}$  به‌دست می‌آید. یعنی:

$$d_2 \approx \left(\frac{\mu}{3}\right)^{1/3},$$

و بنابراین:

$$x_{L_2} \approx (1 - \mu) + (\mu/3)^{1/3}, \quad y_{L_2} = 0.$$

این نقطه در بیرون مدار جرم دوم قرار دارد و تعادل نیروها در آن به این صورت است که نیروی گریز از مرکز به سمت بیرون توسط مجموع نیروی گرانشی دو جرم (هر دو به سمت داخل) بالانس می‌شود.

-  $**L_3**$ : بیرون جرم اول (بزرگ) و در امتداد خط محور  $x$  در سمت مقابل جرم دوم واقع است ( $x < -\mu$ ). این نقطه در سوی دیگر جرم بزرگ‌تر قرار دارد به‌طوری که جرم اول بین  $L_3$  و جرم دوم است.

برای  $L_3$  نیز معادله‌ی تعادل به روش عددی حل می‌شود؛ و در حد  $1 \ll \mu$  (جرم دوم بسیار کوچک)، موقعیت آن اندکی فراتر از مدار جرم اول (جرم بزرگ) است. می‌توان نشان داد برای  $\mu$  های بسیار کوچک:

$$x_{L_3} \approx -1 - \frac{5}{12} \mu, \quad y_{L_3} = 0,$$

که نشان می‌دهد  $L_3$  تقریباً به اندازه‌ی فاصله‌ی دو جرم اصلی دورتر از جرم اول است (حد  $\mu \rightarrow 0$  منجر به  $x = -1$  می‌شود که درست در سمت مقابل جرم دوم و هم‌فاصله با آن است) و با در نظر گرفتن جرم کوچک دوم، اندکی بیش از آن (چند صدم درصد بسته به مقدار  $\mu$ ) فاصله می‌گیرد. به بیان دیگر، گرانش جرم دوم (هرچند کوچک) باعث می‌شود برای حفظ تعادل، جرم سوم واقع در  $L_3$  کمی به جرم بزرگ‌تر نزدیک‌تر شود تا نیروی گریز از مرکز کمتر شده و با کاهش کمی در فاصله، گرانش جرم بزرگ افزایش یابد و تعادل برقرار گردد.

معمولاً معادله‌ی دقیق مربوط به  $L_1$ ،  $L_2$  و  $L_3$  را به صورت یک چندجمله‌ای درجه ۵ نسبت به متغیری کمکی بیان می‌کنند (که به  $**$  معادله‌ی کوئنتیک لاگرانژ  $**$  مشهور است) و سپس آن را با تقریب یا روش‌های عددی حل می‌نمایند. به عنوان مثال، در مراجع کلاسیک نشان داده می‌شود که اگر  $\rho = x + \mu$  فاصله‌ی مرکز جرم تا نقطه‌ی تعادل در یک جهت در نظر گرفته شود، معادله‌ی درجه پنج در  $\rho$  قابل بیان است. اما در کاربردهای عملی، استفاده از روش‌های عددی سریع‌تر به جواب منجر می‌شود.

## ۹-۵

نقاط لاگرانژ سه‌گوش  $(L_4, L_5)$  دو نقطه‌ی تعادل دیگر در صفحه‌ی مدار به‌صورتی قرار می‌گیرند که همراه با دو جرم اصلی تشکیل یک مثلث متساوی‌الاضلاع بدهند. در چنین آرایشی، جرم سوم می‌تواند در حالت تعادل نسبی (هم‌دوران با دو جرم دیگر) باقی بماند. برای این نقاط، واضح است که  $y \neq 0$  خواهد بود. بنابراین در معادلات تعادل باید قسمت داخل کروشه (که در معادله‌ی تعادل  $y$  ظاهر شد) صفر گردد:

$$1 - \frac{1 - \mu}{r_1^3} - \frac{\mu}{r_2^3} = 0.$$

این رابطه همراه با معادله‌ی تعادل در  $x$  باید همزمان ارضا شوند. از آنجا که مثلث متساوی‌الاضلاع است، فاصله‌ی جرم سوم از هر دو جرم اصلی برابر است ( $r_1 = r_2$ ). با توجه به واحد طول نرمال‌شده (فاصله‌ی بین دو جرم اصلی برابر ۱)، این فاصله باید برابر با ۱ (طول ضلع مثلث) باشد. لذا  $r_1 = r_2 = 1$ . در این صورت، رابطه‌ی فوق به سادگی  $0 = \mu - (1 - \mu) - 1$  خواهد بود که برقرار است. با استفاده از هندسه‌ی مثلث متساوی‌الاضلاع در دستگاه مختصات تعریف‌شده می‌توان مختصات دقیق  $L_4$  و  $L_5$  را به‌دست آورد. اگر

ضلع پایینی مثلث روی محور  $x$  باشد (جرم‌ها روی محور  $x$  قرار دارند) و جرم سوم رأس مثلث باشد، آنگاه مختصات آن عبارت‌اند از:

$$x_{L_4} = x_{L_5} = \frac{1}{2} - \mu, \quad y_{L_4} = +\frac{\sqrt{3}}{2}, \quad y_{L_5} = -\frac{\sqrt{3}}{2}.$$

به بیان دیگر، در دستگاه باریسنتر چرخان، هر دوی  $L_4$  و  $L_5$  به اندازه‌ی نیمی از فاصله‌ی دو جرم روی محور  $x$  از مرکز جرم فاصله دارند (کمی جابه‌جاشده به سمت جرم بزرگ‌تر به اندازه‌ی  $\mu$ ) و مؤلفه‌ی عمودی (محور  $y$ ) آن‌ها برابر  $\pm \frac{\sqrt{3}}{2}$  است که نشان‌دهنده‌ی زاویه‌ی  $60^\circ$  نسبت به محور  $x$  می‌باشد. این دو نقطه، در صورت کافی‌بودن نسبت جرم‌ها (بزرگ‌تر بودن قابل توجه جرم اول نسبت به جرم دوم؛ معمولاً  $\frac{m_1}{m_2} > 24.96$  شرط پایداری است)، \*\*نقاط تعادل پایدار\*\* هستند. به عنوان مثال سیاره‌ی مشتری تعداد زیادی سیارک‌های تروجان در نقاط  $L_4$  و  $L_5$  خود نسبت به خورشید دارد. در مقابل، سه نقطه‌ی هم‌خط ( $L_1, L_2, L_3$ ) پایداری ذاتی ندارند و اجسام در آن‌ها بدون تصحیح مداری معمولاً از نقطه‌ی تعادل دور می‌شوند، با این حال برای تحقیقات فضایی (مانند رصدخانه‌ها یا رله‌های مخابراتی) محبوب‌اند زیرا مدارهای هاله‌ای یا لیسائور حول این نقاط با صرف انرژی اندک قابل حفظ هستند.

## ۵-۱۰

نمونه: نقاط لاگرانژ در سیستم زمین-ماه برای سیستم زمین-ماه مقدار  $\mu \approx 0.01215$  است (نسبت جرم ماه به مجموع جرم زمین و ماه). در این سیستم با اعمال روابط به‌دست‌آمده می‌توان موقعیت عددی هر پنج نقطه‌ی لاگرانژ را محاسبه کرد. جدول زیر مختصات بی‌بعد (بر حسب فاصله‌ی زمین-ماه به عنوان واحد طول) این نقاط را در دستگاه مختصات تعریف‌شده‌ی باریسنتر (مرکز جرم در مبدأ، زمین در مختصات  $(-\mu, 0)$  و ماه در  $(1-\mu, 0)$ ) نشان می‌دهد. لازم به ذکر است که در این مقیاس، مختصات زمین تقریباً  $(-0.01215, 0)$  و ماه  $(0.98785, 0)$  می‌باشد. همان‌طور که مشاهده می‌شود،  $L_1$  حدوداً در ۸۴٪ فاصله‌ی زمین-ماه (از سمت زمین) واقع شده و  $L_2$  کمی بیرون مدار ماه قرار دارد. نقطه‌ی  $L_3$  اندکی آن‌سوی مدار زمین (در جهت مخالف ماه) است. نقاط  $L_4$  و  $L_5$  نیز به‌ترتیب در بالا و پایین صفحه (در زاویه‌ی  $60^\circ$ ) و تقریباً در فاصله‌ی مساوی از زمین و ماه قرار گرفته‌اند.

نقطه‌ی لاگرانژ   $x$ (بی‌بعد)   $y$ (بی‌بعد)									
$L_1$		---	---	---	---	---	---	---	---
$L_5$		+0.86603		+0.48785		$L_4$		0	
						$L_3$		0	
						$L_2$		0	
								+0.83692	
								-0.86603	
								+0.48785	

در جدول بالا علامت مثبت/منفی  $x$  نشان‌دهنده‌ی موقعیت نسبت به مرکز جرم (مبدأ مختصات) روی محور زمین-ماه است (مثبت به سمت ماه و منفی به سمت زمین) و محور  $y$  عمود بر آن صفحه‌ی مداری در جهت چرخش سیستم تعریف شده است. مقادیر عددی ارائه‌شده نشان می‌دهند که در منظومه‌ی زمین-ماه،  $L_1$  تقریباً در فاصله‌ی 0.84 برابر فاصله‌ی زمین-ماه از زمین قرار دارد (یعنی فاصله‌ی آن از ماه حدود 0.16 برابر فاصله‌ی زمین-ماه است). به طور مشابه  $L_2$  حدود 1.156 برابر فاصله‌ی زمین-ماه از زمین فاصله دارد (حدود 0.156 برابر فاصله‌ی زمین-ماه آن‌سوی مدار ماه). نقطه  $L_3$  تقریباً در فاصله‌ای برابر با فاصله‌ی زمین-ماه در سمت مقابل (پشت زمین نسبت به ماه) قرار گرفته است. نقاط  $L_4$  و  $L_5$  نیز تقریباً در مختصات  $(0.488, \pm 0.866)$  واقع شده‌اند که نشان‌دهنده‌ی تشکیل مثلث متساوی‌الاضلاع با زمین و ماه می‌باشد. این مقادیر و تحلیل‌ات تأیید می‌کنند که روابط تحلیلی به‌دست‌آمده برای معادلات لاگرانژ و نقاط تعادل، به‌خوبی می‌توانند برای توصیف وضعیت‌های پایدار و ناپایدار یک جرم کوچک در میدان گرانشی دو جرم آسمانی به‌کار روند.

**\*\*مراجع:\*\*** ۱. An Battin, H. Richard. \*Methods and Mathematics the to Introduction

of Lagrange's for Eq.(۱) Series, Education AIAA Edition, Revised Astrodynamics\*,  
equation. quintic (معادله درجه پنج لاگرانژ برای محاسبه نقاط  $L_1, L_2, L_3$ )

## فصل ۶

### شبیه‌سازی عامل در محیط سه جسمی

در این فصل، فرآیند شبیه‌سازی عامل هوشمند کنترل‌کننده فضاپیما در محیط دینامیکی سه جسمی بررسی شده است. در بخش ۶-۱ به طراحی و در بخش ۶-۲ به شبیه‌سازی عامل هدایت‌کننده مبتنی بر یادگیری تقویتی است پرداخته شده است. این عامل طراحی و شبیه‌سازی شده باید توانایی این را داشته باشد که فضاپیما را به‌طور مؤثر به سمت اهداف تعیین‌شده هدایت کند، در حالی که محدودیت‌هایی نظیر مصرف سوخت و وجود اغتشاش دارد.

#### ۶-۱ طراحی عامل

در این زیربخش، معماری عامل هوشمند کنترل‌کننده فضاپیما در محیط سه جسمی شرح داده شده است. این معماری شامل تعریف عامل، فضای حالت و عمل، و تابع پاداش است.

#### ۶-۱-۱ فضای حالت

فضای حالت<sup>۱</sup> در این پژوهش به‌گونه‌ای طراحی شده است که وضعیت دینامیکی فضاپیما را نسبت به یک مسیر و سرعت مرجع مشخص می‌کند. این فضا شامل اختلاف‌های موقعیت و سرعت از مسیر و سرعت مرجع است و به‌صورت زیر تعریف می‌شود:

$$S = \{\delta x, \delta y, \delta \dot{x}, \delta \dot{y}\}$$

که در آن:

---

<sup>1</sup>State Space

- $\delta x, \delta y$ : اختلاف موقعیت فضایی نسبت به مسیر مرجع در محورهای  $x, y$ .
- $\delta \dot{x}, \delta \dot{y}$ : اختلاف سرعت فضایی نسبت به سرعت مرجع در محورهای  $x, y$ .

هر یک از این متغیرها به طور مستقل وضعیت فضایی را در یک جهت خاص توصیف می‌کنند و امکان تحلیل دقیق انحرافات را فراهم می‌سازند. استفاده از اختلاف‌های موقعیت و سرعت به جای مقادیر مطلق، به دلایل زیر انجام شده است:

- **تمرکز بر انحرافات:** هدف اصلی سیستم کنترلی، کاهش انحرافات از مسیر و سرعت مطلوب است. با استفاده از اختلاف‌ها، کنترلر می‌تواند به طور مستقیم بر این انحرافات اثر بگذارد و نیازی به محاسبه مقادیر مطلق موقعیت و سرعت ندارد.
- **سازگاری با یادگیری تقویتی:** در الگوریتم‌های یادگیری تقویتی، فضاهای حالت مبتنی بر اختلاف معمولاً دامنه محدودتری دارند که فرآیند یادگیری را سریع‌تر و پایدارتر می‌کند.

## ۶-۱-۲ فضای عمل

فضای عمل<sup>۲</sup> فضایی با پیشران کم مجموعه‌ای از عمل‌های پیوسته است که فضایی می‌تواند در محیط شبیه‌سازی انجام دهد. این فضا به گونه‌ای طراحی شده که امکان اعمال نیرو در جهت‌های مشخص و با مقادیر متناسب با توان واقعی فضاییها فراهم شود. به طور خاص، فضای اقدام شامل موارد زیر است:

- **نیروی اعمال شده در جهت  $x$ :** این متغیر پیوسته، مقدار نیرویی را که در جهت محور  $x$  به فضایی وارد می‌شود، تعیین می‌کند. دامنه این نیرو بر اساس توان پیشران‌های موجود در فضایی‌ها و واقعی انتخاب شده است. به عبارت دیگر، اگر حداکثر نیروی قابل اعمال در جهت  $x$  برابر با  $f_{x,\max}$  باشد، این متغیر می‌تواند مقادیری در بازه  $[-f_{x,\max}, f_{x,\max}]$  داشته باشد.

- **نیروی اعمال شده در جهت  $y$ :** این متغیر پیوسته، مقدار نیرویی را که در جهت محور  $y$  به فضایی وارد می‌شود، مشخص می‌کند. مشابه جهت  $x$ ، دامنه این نیرو نیز بر اساس توان پیشران‌های موجود تعیین شده و می‌تواند در بازه  $[-f_{y,\max}, f_{y,\max}]$  قرار گیرد.

انتخاب این نیروها بر اساس ویژگی‌های واقعی فضاییها، به‌ویژه توان و محدودیت‌های پیشران‌های آنها، صورت گرفته است. این امر اطمینان می‌دهد که شبیه‌سازی تا حد ممکن به شرایط واقعی نزدیک باشد و نتایج

<sup>2</sup>Action Space



به دست آمده قابلیت تعمیم به کاربردهای عملی را داشته باشند. همچنین، تعریف فضای اقدام به صورت پیوسته، امکان کنترل دقیق و انعطاف پذیر بر حرکت فضاپیما را فراهم می کند، که برای دستیابی به اهداف کنترلی در محیط های دینامیکی پیچیده ضروری است. به طور خلاصه، فضای اقدام به صورت زیر تعریف می شود:

$$a = \{f_x, f_y \mid f_x \in [-f_{x,\max}, f_{x,\max}], f_y \in [-f_{y,\max}, f_{y,\max}]\}$$

### ۳-۱-۶ تابع پاداش

تابع پاداش<sup>۳</sup> به منظور هدایت رفتار عامل طراحی شده و شامل دو مؤلفه اصلی است:

- پاداش برای دستیابی به هدف: تشویق عامل برای نزدیک شدن به مدار هدف.
- جریمه برای مصرف سوخت: تنبیه برای استفاده بیش از حد از پیشران.
- جریمه برای انحراف از مسیر مرجع: تنبیه برای خروج از مسیر مرجع.

تابع پاداش به صورت زیر تعریف می شود:

$$r(s, a) = r_{\text{target}}(s) + r_{\text{thrust}}(a) + r_{\text{divergence}}(s)$$

که در آن مؤلفه های تابع پاداش به صورت زیر تعریف شده اند:

$$r_{\text{target}}(s) = -k_1 \cdot d(s, s_{\text{target}}) \quad (۱-۶)$$

$$r_{\text{thrust}}(a) = -k_2 \cdot \|a\| \quad (۲-۶)$$

$$r_{\text{divergence}}(s) = \begin{cases} -k_3 & \text{if } d(s, s_{\text{reference}}) > \epsilon \\ 0 & \text{otherwise} \end{cases} \quad (۳-۶)$$

تابع  $d(s, s')$  فاصله بین دو وضعیت  $s$  و  $s'$  را نشان می دهد که معمولاً به صورت فاصله اقلیدسی محاسبه می شود. ضرایب  $k_1, k_2, k_3$  از طریق آزمایش و خطا تنظیم شده اند تا تعادل مناسبی بین دستیابی به هدف، بهینه سازی مصرف سوخت، و حفظ مسیر مرجع برقرار شود. علاوه بر این، این ضرایب تأثیر مستقیمی بر پایداری و فرآیند یادگیری عامل دارند. به عنوان مثال، انتخاب مقادیر بیش از حد بزرگ برای  $k_1$  ممکن است باعث شود عامل به سرعت به سمت هدف حرکت کند اما پایداری مسیر را از دست بدهد، در حالی که مقادیر بزرگ  $k_3$  می تواند عامل را بیش از حد محافظه کار کرده و فرآیند یادگیری را کند نماید. تنظیم دقیق این ضرایب، نه تنها عملکرد عامل را بهینه می کند، بلکه پایداری عددی و سرعت همگرایی الگوریتم یادگیری تقویتی را نیز تضمین می نماید.

<sup>۳</sup>Reward Function

## ۲-۶ شبیه‌سازی عامل

در این زیربخش، فرآیند شبیه‌سازی و آموزش عامل با استفاده از الگوریتم‌های یادگیری تقویتی پیشرفته شرح داده می‌شود. الگوریتم‌های مورد استفاده، مراحل آموزش، و نتایج حاصل از شبیه‌سازی ارائه می‌گردند.

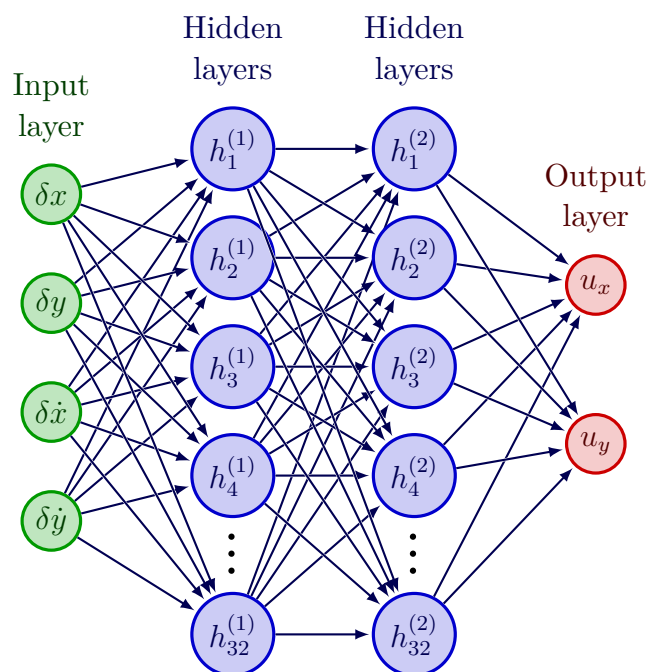
### ۱-۲-۶ الگوریتم‌های مورد استفاده

برای آموزش عامل، الگوریتم‌های زیر به‌کار گرفته شده‌اند:

جدول ۱-۶: ویژگی‌های الگوریتم‌های مورد استفاده در شبیه‌سازی

تعداد پارامترها	شبکه Critic		شبکه Actor		الگوریتم
	نودها	لایه‌ها	نودها	لایه‌ها	
$150 \times 10^3$	$(2^8, 2^7, 2^6)$	3	$(2^8, 2^7, 2^6)$	3	DDPG
$50 \times 10^3$	$(2^7, 2^6)$	2	$(2^7, 2^6)$	2	PPO
$160 \times 10^3$	$(2^8, 2^7, 2^6)$	3	$(2^8, 2^7, 2^6)$	3	SAC
$200 \times 10^3$	$(2^8, 2^7, 2^7, 2^6)$	4	$(2^8, 2^7, 2^6)$	3	TD3

این الگوریتم‌ها به دلیل توانایی در مدیریت فضا‌های پیوسته و عملکرد مؤثر در محیط‌های پیچیده انتخاب شده‌اند. در شکل ۱-۶ شبکه عصبی شبیه‌سازی شده آورده شده است.



شکل ۶-۱: ساختار شبکه عصبی عامل

## ۶-۲-۲ فرآیند آموزش

آموزش عامل به صورت کلی در چند مرحله انجام شده است. ابتدا، کاوش اولیه در محیط با استفاده از یک سیاست تصادفی صورت گرفته و تجربه‌های اولیه جمع‌آوری شده‌اند. سپس، شبکه‌های عصبی الگوریتم‌ها با بهره‌گیری از این تجربه‌ها به روزرسانی شده‌اند. در نهایت، پارامترهای کلیدی مانند نرخ یادگیری و اندازه بافر تجربه تنظیم شده‌اند تا پایداری فرآیند تضمین شود.

برای پیاده‌سازی این فرآیند، از چارچوب PyTorch استفاده شده است. همچنین، به منظور جلوگیری از بیش‌برازش، تکنیک Noise Exploration به کار گرفته شده است. آموزش تا زمانی ادامه یافته که موفقیت عامل در بیش از ۹۰ درصد موارد به دست آمده باشد. در این راستا، برای بهینه‌سازی پارامترهای شبکه‌های عصبی، از روش Backpropagation استفاده شده است. این روش بر اساس گرادیان تابع خطا نسبت به پارامترها عمل می‌کند که به صورت زیر بیان می‌شود:

$$\frac{\partial L}{\partial w} = \frac{\partial L}{\partial y} \cdot \frac{\partial y}{\partial w} \quad (۶-۴)$$

که در آن  $L$  تابع خطا،  $w$  وزن‌های شبکه، و  $y$  خروجی شبکه عصبی است. به روزرسانی وزن‌ها با استفاده از

روش گرادیان نزولی انجام شده است:

$$w_{t+1} = w_t - \eta \cdot \frac{\partial L}{\partial w} \quad (5-6)$$

که  $\eta$  نرخ یادگیری است و به عنوان یک پارامتر کلیدی تنظیم شده است.

## فصل ۷

### سخت افزار در حلقه عملکرد عامل در محیط

## فصل ۸

# ارزیابی و نتایج یادگیری

در این فصل، نتایج حاصل از فرآیند یادگیری تقویتی در محیط سه‌جسمی ارائه و تحلیل شده است. هدف، بررسی عملکرد الگوریتم‌های استفاده‌شده و ارزیابی توانایی آن‌ها در دستیابی به اهداف تعیین‌شده می‌باشد.

### ۸-۱ تنظیمات آزمایشی

تنظیمات شبیه‌سازی، شامل پارامترهای محیط، نرخ یادگیری، و اندازه بافر تجربه، در این بخش تشریح شده است.

### ۸-۲ نتایج عملکرد الگوریتم‌ها

نتایج عملکرد الگوریتم‌های TD3، SAC، PPO، و DDPG با معیارهایی نظیر زمان رسیدن به هدف و مصرف سوخت گزارش شده است.

### ۸-۳ تحلیل پایداری و همگرایی

پایداری و سرعت همگرایی فرآیند یادگیری با استفاده از نمودارهای پاداش و معیارهای عددی مورد بررسی قرار گرفته است.

## ۴-۸ مقایسه با معیارهای مرجع

عملکرد الگوریتم‌ها با روش‌های مرجع مقایسه شده تا برتری‌ها و محدودیت‌های آن‌ها مشخص گردد.

# Bibliography

- [1] M. A. Vavrina, J. A. Englander, S. M. Phillips, and K. M. Hughes. Global, multi-objective trajectory optimization with parametric spreading. In *AAS AIAA Astrodynamics Specialist Conference 2017*, 2017. Tech. No. GSFC-E-DAA-TN45282.
- [2] C. Ocampo. Finite burn maneuver modeling for a generalized spacecraft trajectory design and optimization system. *Annals of the New York Academy of Sciences*, 1017:210–233, 2004.
- [3] B. G. Marchand, S. K. Scarritt, T. A. Pavlak, and K. C. Howell. A dynamical approach to precision entry in multi-body regimes: Dispersion manifolds. *Acta Astronautica*, 89:107–120, 2013.
- [4] A. F. Haapala and K. C. Howell. A framework for constructing transfers linking periodic libration point orbits in the spatial circular restricted three-body problem. *International Journal of Bifurcation and Chaos*, 26(05):1630013, 2016.
- [5] B. Gaudet, R. Linares, and R. Furfaro. Six degree-of-freedom hovering over an asteroid with unknown environmental dynamics via reinforcement learning. In *20th AIAA Scitech Forum*, Orlando, Florida, 2020.
- [6] B. Gaudet, R. Linares, and R. Furfaro. Terminal adaptive guidance via reinforcement meta-learning: Applications to autonomous asteroid close-proximity operations. *Acta Astronautica*, 171:1–13, 2020.
- [7] A. Rubinsztein, R. Sood, and F. E. Laipert. Neural network optimal control in astrodynamics: Application to the missed thrust problem. *Acta Astronautica*, 176:192–203, 2020.
- [8] T. A. Estlin, B. J. Bornstein, D. M. Gaines, R. C. Anderson, D. R. Thompson, M. Burl, R. Castaño, and M. Judd. Aegis automated science targeting for the mer opportunity rover. *ACM Transactions on Intelligent Systems and Technology (TIST)*, 3:1–19, 2012.



- [9] R. Francis, T. Estlin, G. Doran, S. Johnstone, D. Gaines, V. Verma, M. Burl, J. Frydenvang, S. Montano, R. Wiens, S. Schaffer, O. Gasnault, L. Deflores, D. Blaney, and B. Bornstein. Aegis autonomous targeting for chemcam on mars science laboratory: Deployment and results of initial science team use. *Science Robotics*, 2, 2017.
- [10] S. Higa, Y. Iwashita, K. Otsu, M. Ono, O. Lamarre, A. Didier, and M. Hoffmann. Vision-based estimation of driving energy for planetary rovers using deep learning and terramechanics. *IEEE Robotics and Automation Letters*, 4:3876–3883, 2019.
- [11] B. Rothrock, J. Papon, R. Kennedy, M. Ono, M. Heverly, and C. Cunningham. Spoc: Deep learning-based terrain classification for mars rover missions. In *AIAA Space and Astronautics Forum and Exposition, SPACE 2016*. American Institute of Aeronautics and Astronautics Inc, AIAA, 2016.
- [12] K. L. Wagstaff, G. Doran, A. Davies, S. Anwar, S. Chakraborty, M. Cameron, I. Daubar, and C. Phillips. Enabling onboard detection of events of scientific interest for the europa clipper spacecraft. In *25th ACM SIGKDD International Conference on Knowledge Discovery & Data Mining*, pages 2191–2201, Anchorage, Alaska, 2019.
- [13] B. Dachwald. Evolutionary neurocontrol: A smart method for global optimization of low-thrust trajectories. In *AIAA/AAS Astrodynamics Specialist Conference and Exhibit*, pages 1–16, Providence, Rhode Island, 2004.
- [14] S. D. Smet and D. J. Scheeres. Identifying heteroclinic connections using artificial neural networks. *Acta Astronautica*, 161:192–199, 2019.
- [15] N. L. O. Parrish. *Low Thrust Trajectory Optimization in Cislunar and Translunar Space*. PhD thesis, University of Colorado Boulder, 2018.
- [16] N. Heess, D. TB, S. Sriram, J. Lemmon, J. Merel, G. Wayne, Y. Tassa, T. Erez, Z. Wang, S. M. A. Eslami, M. A. Riedmiller, and D. Silver. Emergence of locomotion behaviours in rich environments. *CoRR*, abs/1707.02286, 2017.
- [17] D. Silver, J. Schrittwieser, K. Simonyan, I. Antonoglou, A. Huang, A. Guez, T. Hubert, L. Baker, M. Lai, A. Bolton, Y. Chen, T. Lillicrap, F. Hui, L. Sifre, G. van den Driessche, T. Graepel, and D. Hassabis. Mastering the game of go without human knowledge. *Nature*, 550, 2017.

- [18] R. Furfaro, A. Scorsoglio, R. Linares, and M. Massari. Adaptive generalized zem-zev feedback guidance for planetary landing via a deep reinforcement learning approach. *Acta Astronautica*, 171:156–171, 2020.
- [19] B. Gaudet, R. Linares, and R. Furfaro. Deep reinforcement learning for six degrees of freedom planetary landing. *Advances in Space Research*, 65:1723–1741, 2020.
- [20] B. Gaudet, R. Furfaro, and R. Linares. Reinforcement learning for angle-only intercept guidance of maneuvering targets. *Aerospace Science and Technology*, 99, 2020.
- [21] D. Guzzetti. Reinforcement learning and topology of orbit manifolds for station-keeping of unstable symmetric periodic orbits. In *AAS/AIAA Astrodynamics Specialist Conference*, Portland, Maine, 2019.
- [22] J. A. Reiter and D. B. Spencer. Augmenting spacecraft maneuver strategy optimization for detection avoidance with competitive coevolution. In *20th AIAA Scitech Forum*, Orlando, Florida, 2020.
- [23] A. Das-Stuart, K. C. Howell, and D. C. Folta. Rapid trajectory design in complex environments enabled by reinforcement learning and graph search strategies. *Acta Astronautica*, 171:172–195, 2020.
- [24] D. Miller and R. Linares. Low-thrust optimal control via reinforcement learning. In *29th AAS/AIAA Space Flight Mechanics Meeting*, Ka’anapali, Hawaii, 2019.
- [25] C. J. Sullivan and N. Bosanac. Using reinforcement learning to design a low-thrust approach into a periodic orbit in a multi-body system. In *20th AIAA Scitech Forum*, Orlando, Florida, 2020.
- [26] D. Silver, G. Lever, N. Heess, T. Degris, D. Wierstra, and M. Riedmiller. Deterministic policy gradient algorithms. In *International conference on machine learning*, pages 387–395. Pmlr, 2014.
- [27] M. Abadi, A. Agarwal, P. Barham, E. Brevdo, Z. Chen, C. Citro, G. S. Corrado, A. Davis, J. Dean, M. Devin, S. Ghemawat, I. Goodfellow, A. Harp, G. Irving, M. Isard, Y. Jia, R. Jozefowicz, L. Kaiser, M. Kudlur, J. Levenberg, D. Mané, R. Monga, S. Moore, D. Murray, C. Olah, M. Schuster, J. Shlens, B. Steiner, I. Sutskever, K. Talwar, P. Tucker, V. Vanhoucke, V. Vasudevan, F. Viégas, O. Vinyals, P. Warden, M. Wattenberg, M. Wicke, Y. Yu, and X. Zheng. TensorFlow: Large-scale machine learning on heterogeneous systems, 2015. Software available from tensorflow.org.

- [28] S. Fujimoto, H. van Hoof, and D. Meger. Addressing function approximation error in actor-critic methods, 2018.
- [29] A. Paszke, S. Gross, S. Chintala, G. Chanan, E. Yang, Z. DeVito, Z. Lin, A. Desmaison, L. Antiga, and A. Lerer. Automatic differentiation in pytorch. 2017.
- [30] T. Haarnoja, A. Zhou, P. Abbeel, and S. Levine. Soft actor-critic: Off-policy maximum entropy deep reinforcement learning with a stochastic actor. *CoRR*, abs/1801.01290, 2018.

## **Abstract**

In this study, a quadcopter stand with three degrees of freedom was controlled using game theory-based control. The first player tracks a desired input, and the second player creates a disturbance in the tracking of the first player to cause an error in the tracking. The move is chosen using the Nash equilibrium, which presupposes that the other player made the worst move.. In addition to being resistant to input interruptions, this method may also be resilient to modeling system uncertainty. This method evaluated the performance through simulation in the Simulink environment and implementation on a three-degree-of-freedom stand.

**Keywords:** Quadcopter, Differential Game, Game Theory, Nash Equilibrium, Three Degree of Freedom Stand, Model Base Design, Linear Quadratic Regulator



Sharif University of Technology  
Department of Aerospace Engineering

Master Thesis

# **Robust Reinforcement Learning Differential Game Guidance in Low-Thrust, Multi-Body Dynamical Environments**

By:

**Ali BaniAsad**

Supervisor:

**Dr.Hadi Nobahari**

December 2024